

Webinar



Sciences Economiques et
Sociales de la Santé et Traitement
de l'Information médicale
sesstim.univ-amu.fr



openhealth-institute.org

Jacques DEMONGEOT

Professeur, IUF, Institut Universitaire de France, Membre honoraire.
UGA, Université Grenoble Alpes Professeur Emérite.

**Big data,
Functional modelling, Time Data.**

juin 2017



Cliquez ici pour voir l'intégralité des ressources associées à ce document

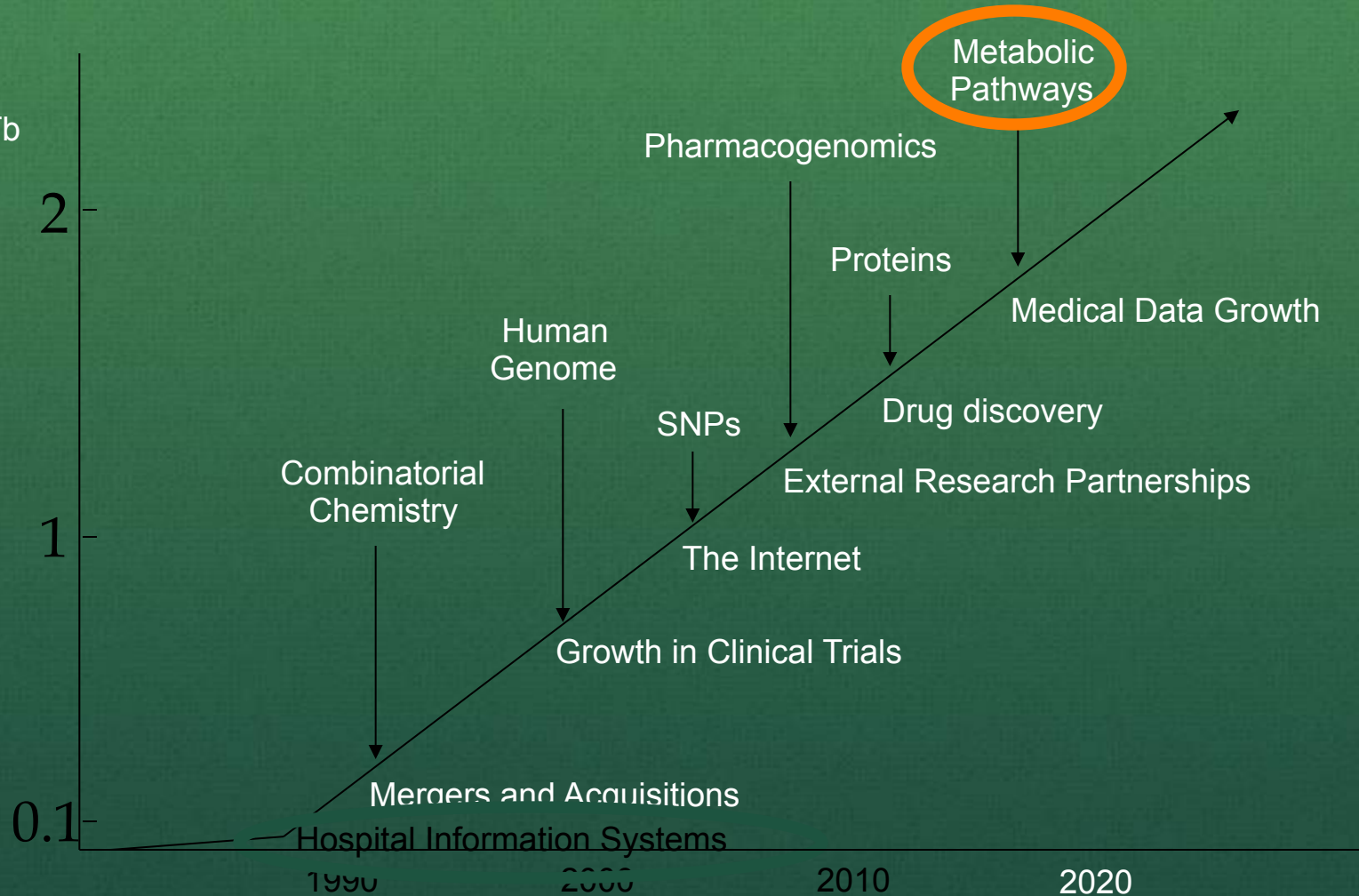
Big data, Functional modelling, Time data

J. Demongeot IUF (honorary) & UGA (emeritus)

New Health Technologies Produce Data Tsunami

Petabytes of medical data produced pro year in a hospital receiving 200 000 patients / year

of
Data
=
1024 Tb





**Le bâton symbolise l'activité
du médecin qui promène
sa science secourable**



**Le serpent symbolise la personne
qui fait le choix de participer
ou non au soin, prenant ainsi en
main son propre bien-être**

e-santé asservie au patient

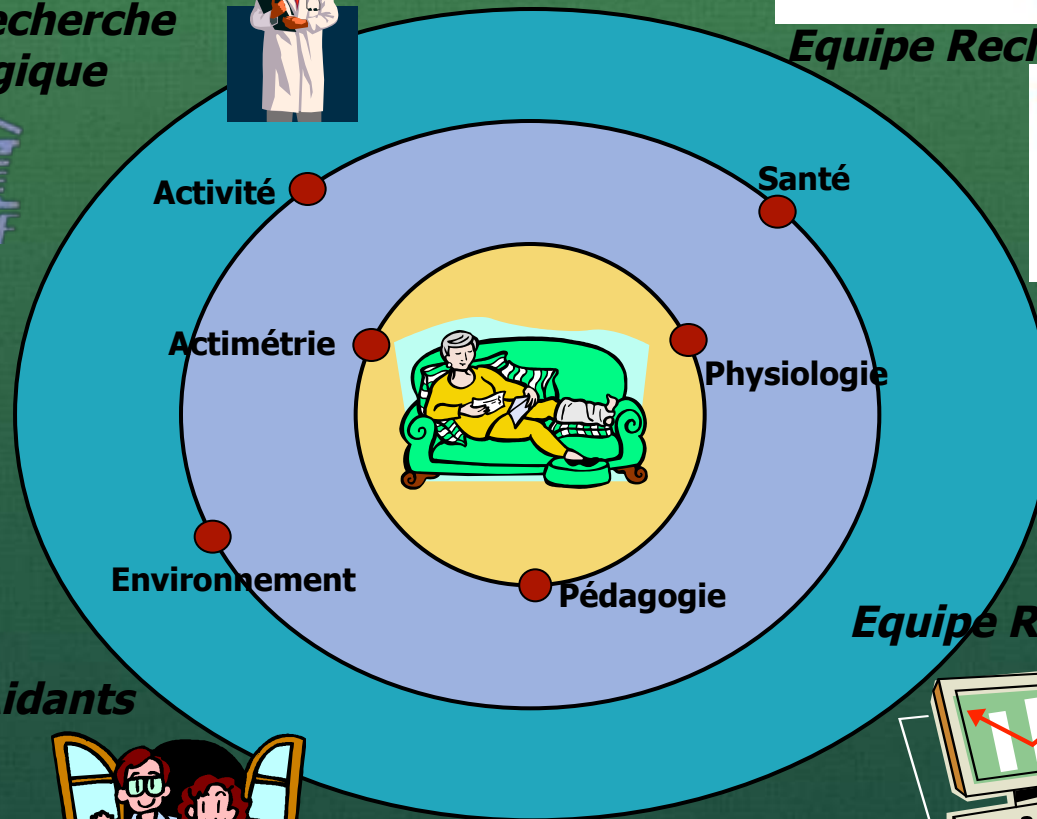


Equipe Médicale

Equipe Recherche pédagogique



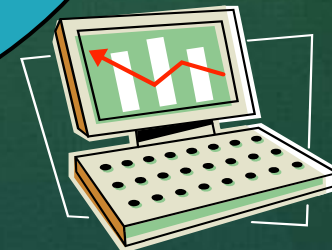
Equipe Recherche technologique



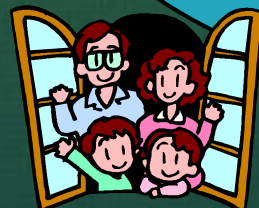
Centre de Télésurveillance

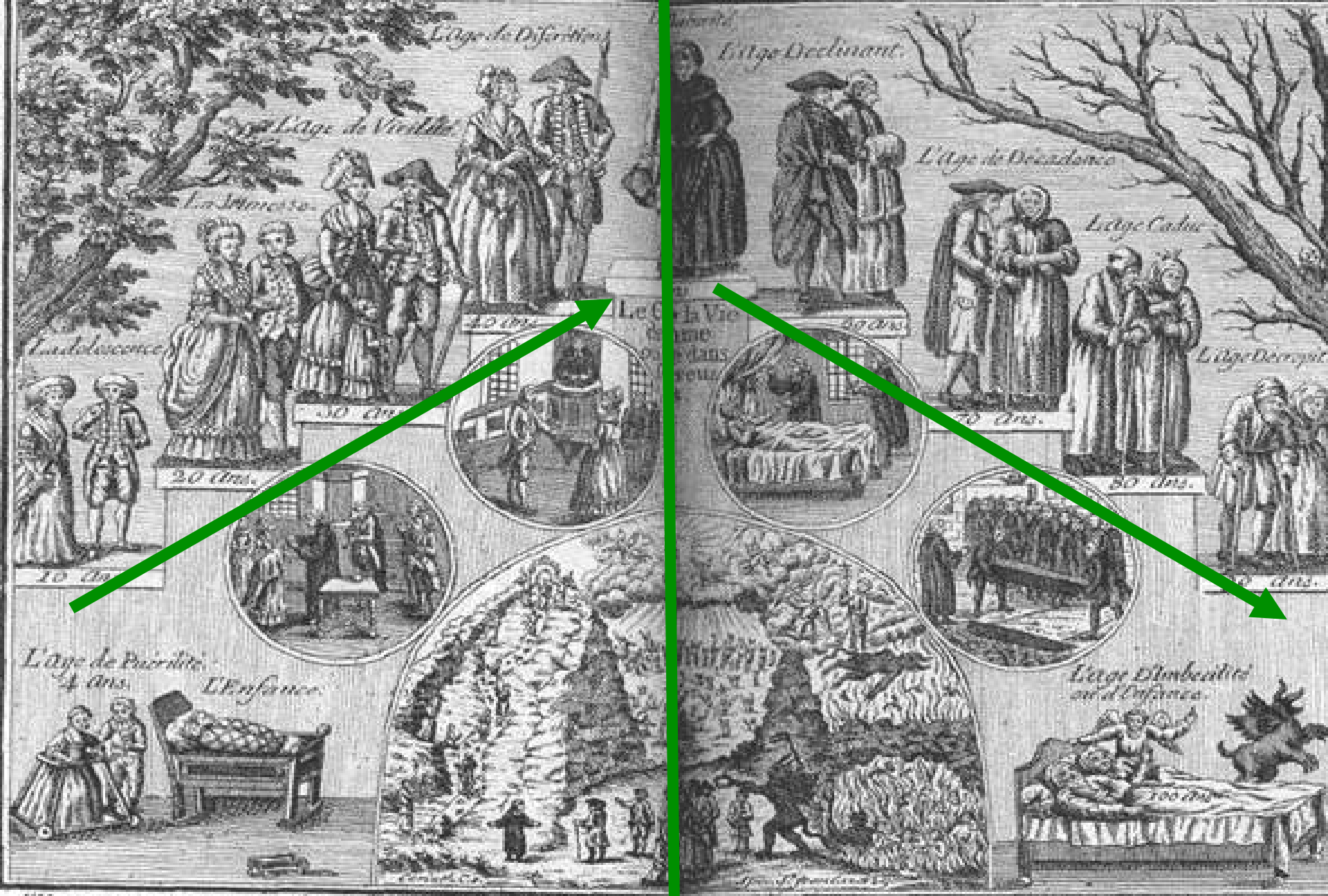


Equipe Recherche clinique



Famille, Aidants





L'Homme commence par l'Enfance, il se lève beaucoup de mal, mais se peigne et se travaille, et s'élève dans l'adolescence.

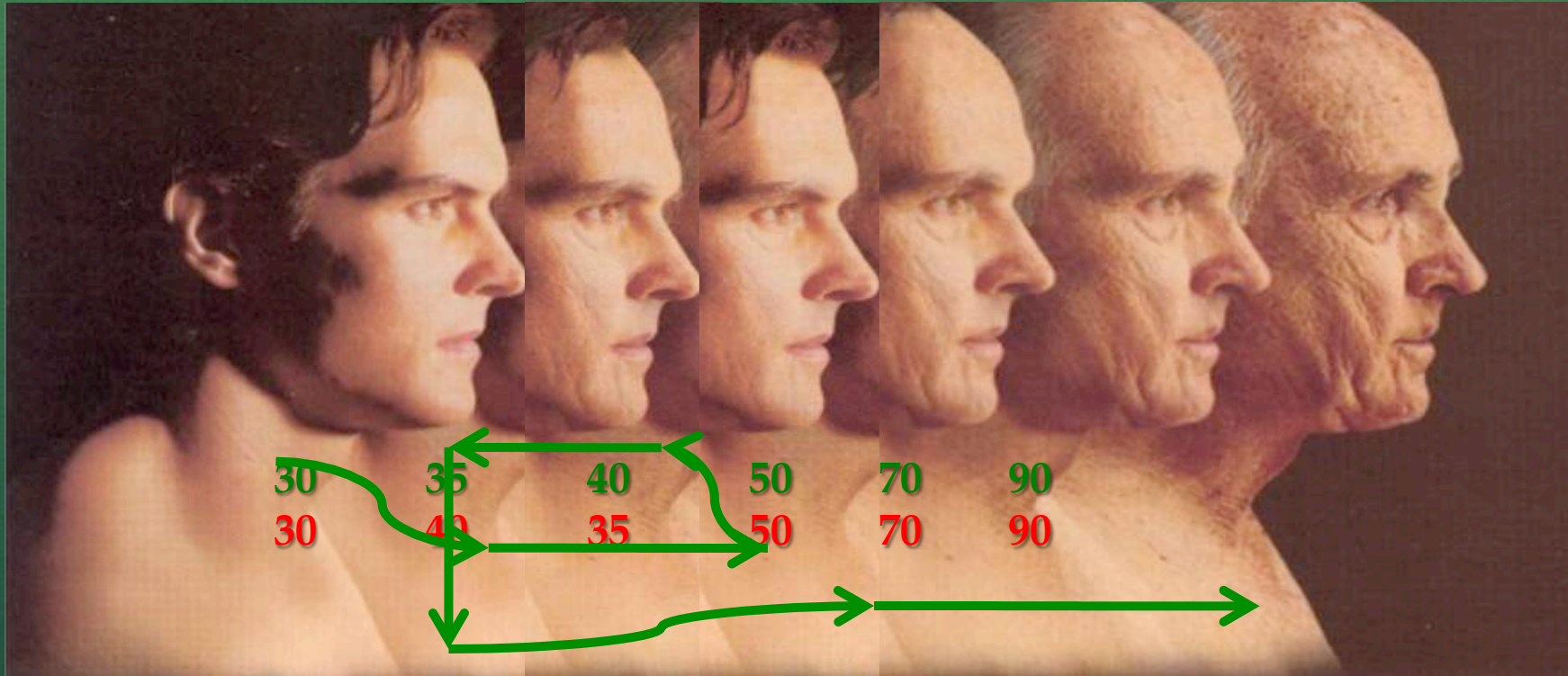
La femme à l'avantage, elle se fait plus de plaisir, elle veut à des desirs, et de grande peur pour son pays, après à des de la Santé.

Age de Maturité, elle commence à s'écarter de vieillesse, et de l'âge qui va le suivre, et de grande peur pour son pays, après à des de la Santé.

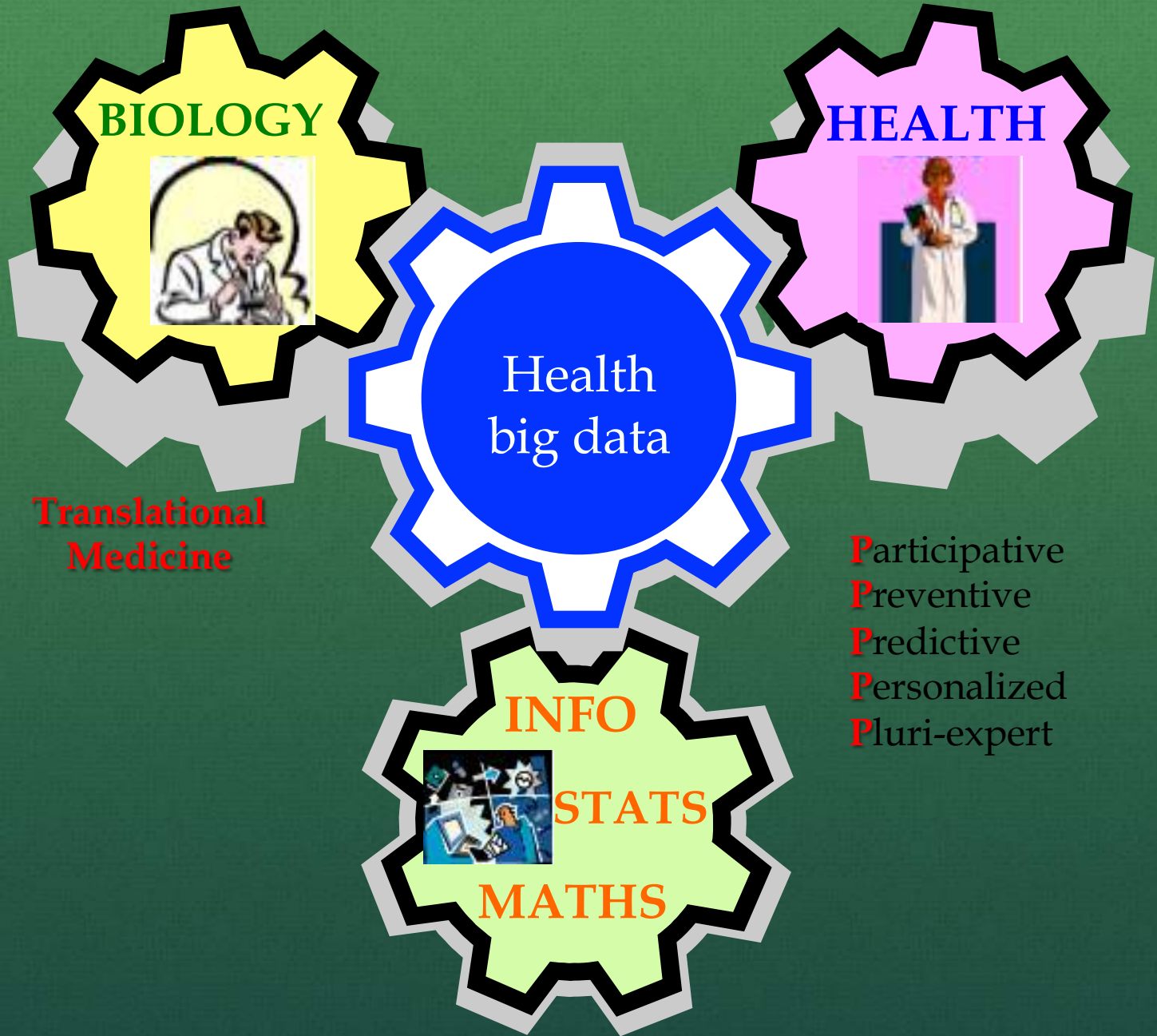
L'Age Caduc et imbecille, elle prend plus de plaisir à se lever, et se fait de grands soins, et de la tombe sur son lit.

Biological Time

Chronological Time



JD, Acta Bio, 2009



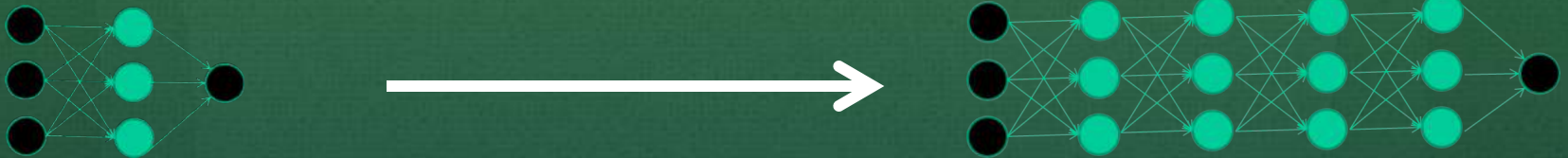
Methods of investigation, compression & interpretation

Methods of investigation

- Classical data analysis
- Deep learning
- No SQL interrogation

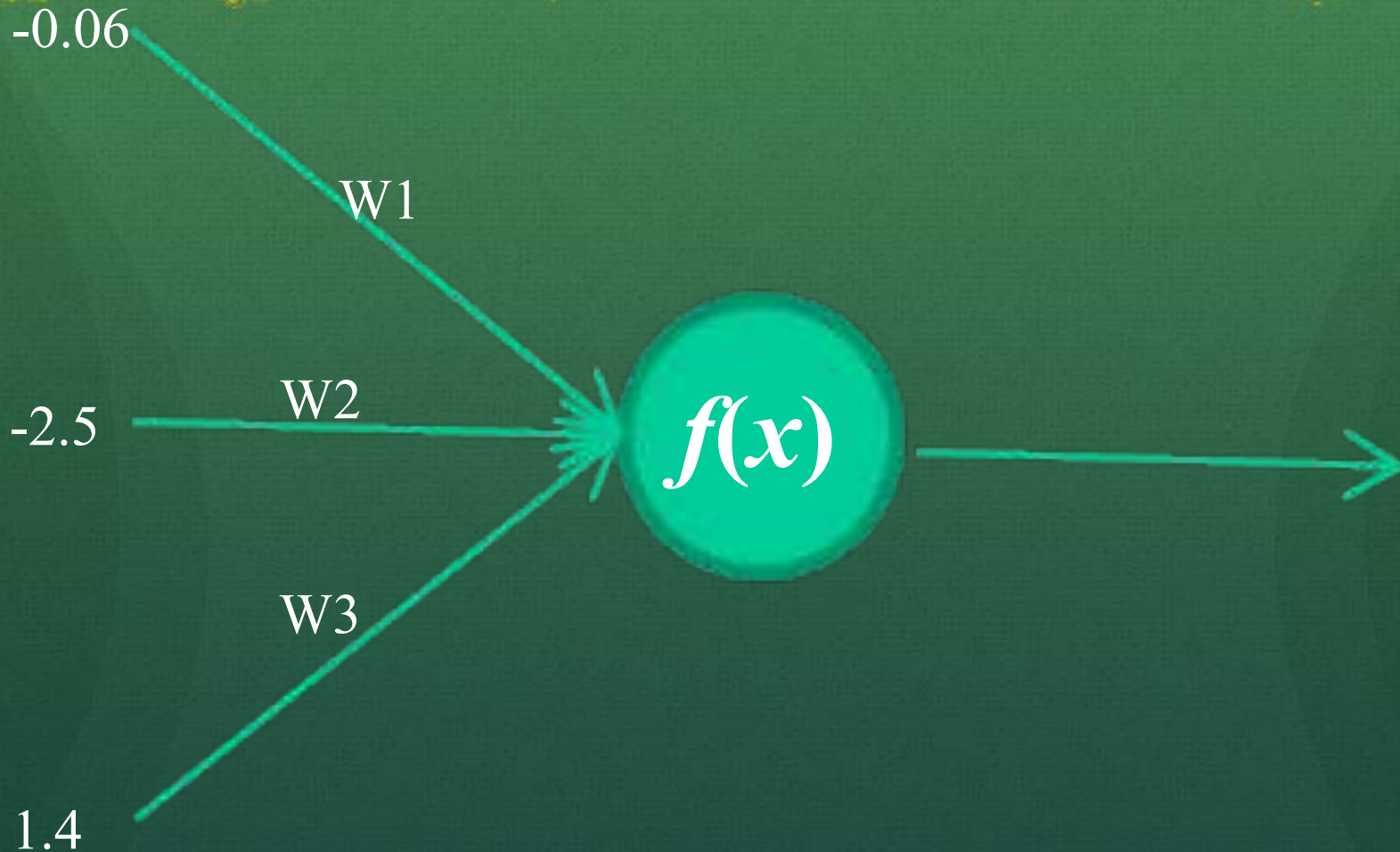
Le “deep learning est une méthode non supervisée, qui utilise un classifieur réseau de neurones à plusieurs couche.

Par rapport aux réseaux classiques (Hopfield, Kohonen, etc), adjonction de plusieurs couches

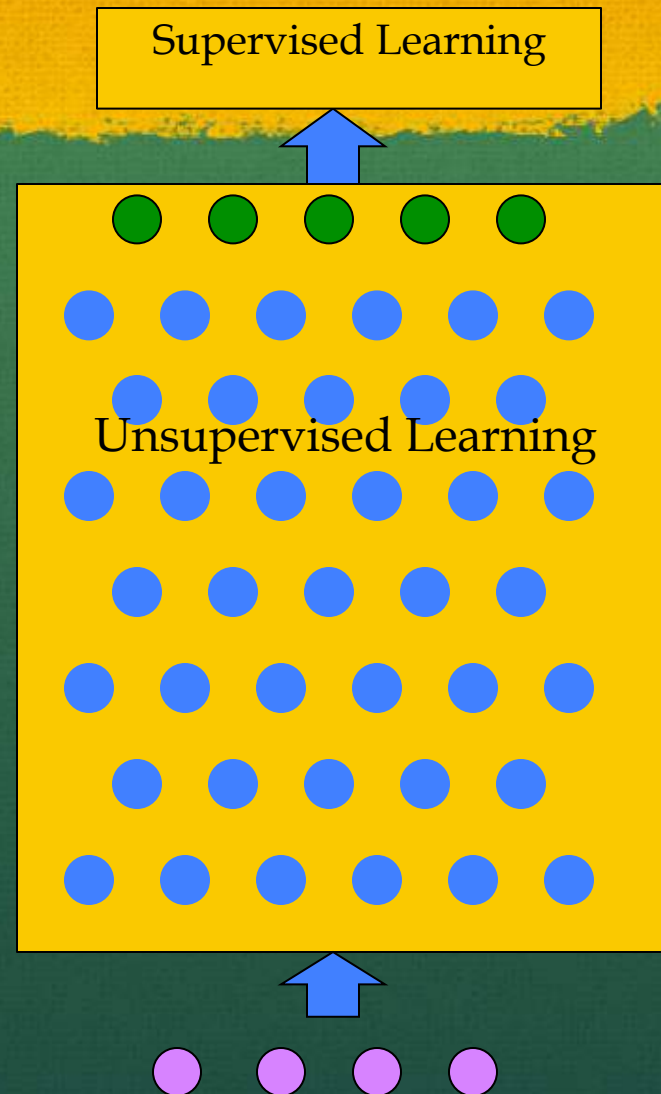


McCulloch-Pitts 1940

$$f(x) = \frac{1}{1 + e^{-x}}$$



Deep Learning



Convolution (L. Schwartz, Y. Lecun)

Pour régulariser, on convole...

1 _{x1}	1 _{x0}	1 _{x1}	0	0
0 _{x0}	1 _{x1}	1 _{x0}	1	0
0 _{x1}	0 _{x0}	1 _{x1}	1	1
0	0	1	1	0
0	1	1	0	0

Image

4		

Convolved
Feature

Convolutional Neural Networks

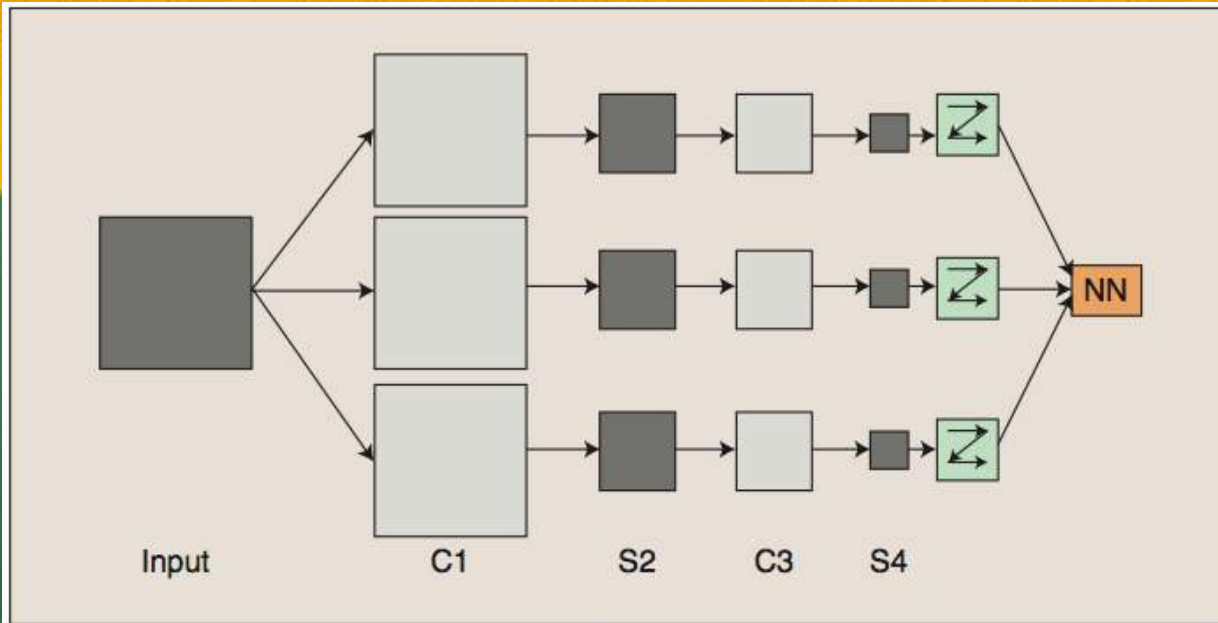
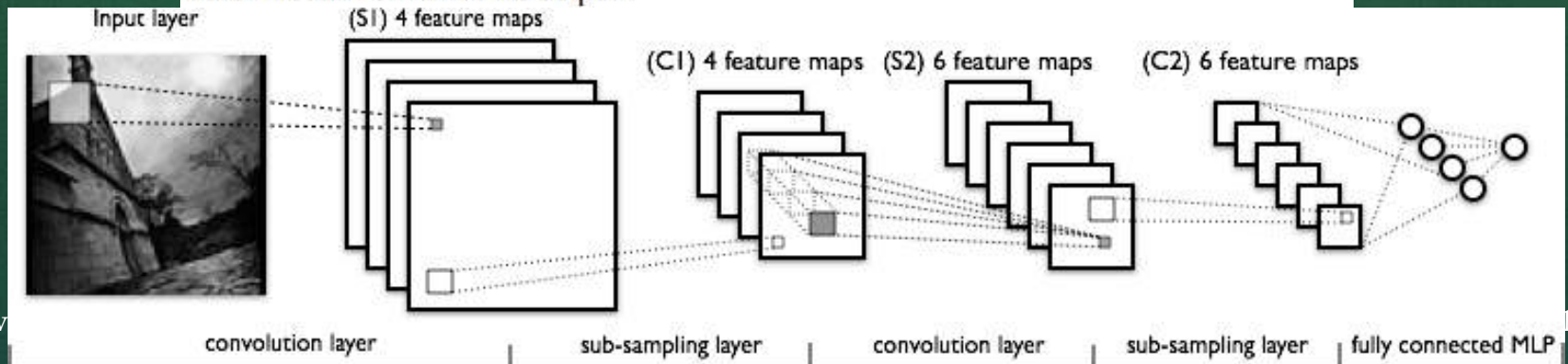


FIGURE 2 Conceptual example of convolutional neural network. The input image is convolved with three trainable filters and biases as in Figure 1 to produce three feature maps at the C1 level. Each group of four pixels in the feature maps are added, weighted, combined with a bias, and passed through a sigmoid function to produce the three feature maps at S2. These are again filtered to produce the C3 level. The hierarchy then produces S4 in a manner analogous to S2. Finally these pixel values are rasterized and presented as a single vector input to the “conventional” neural network at the output.



Cascade of convolutions

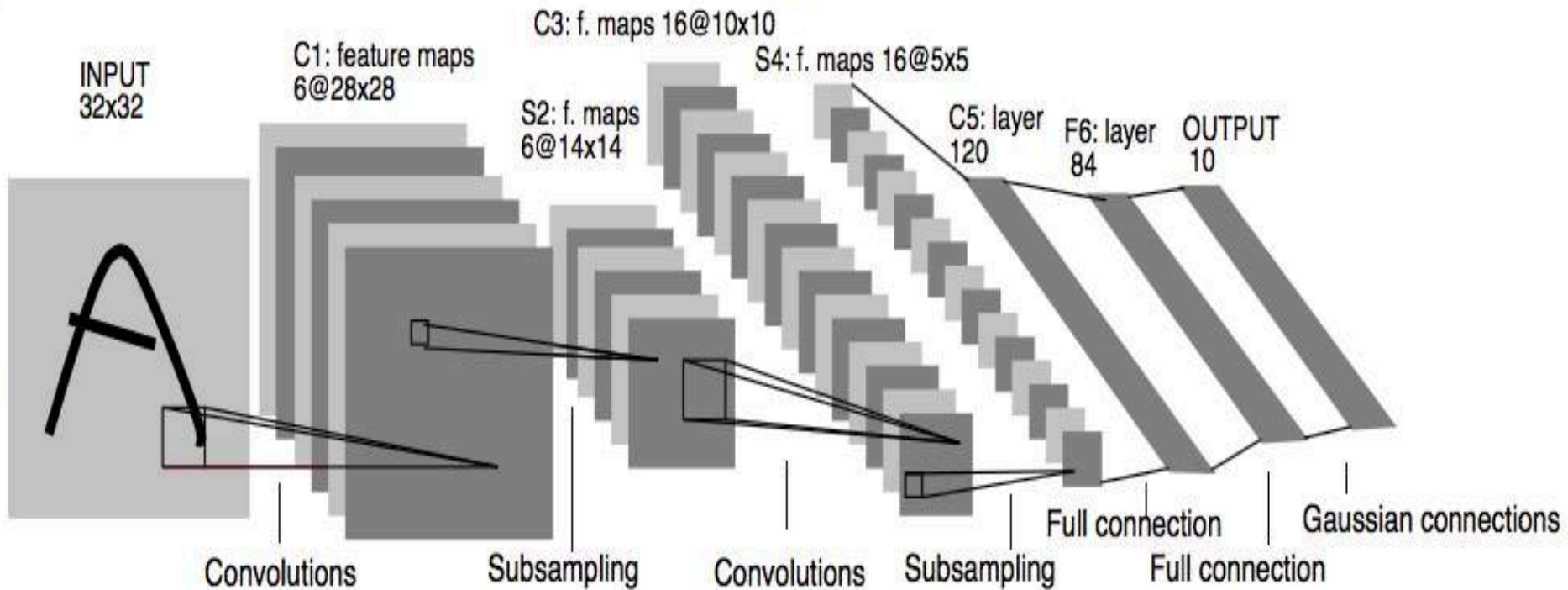
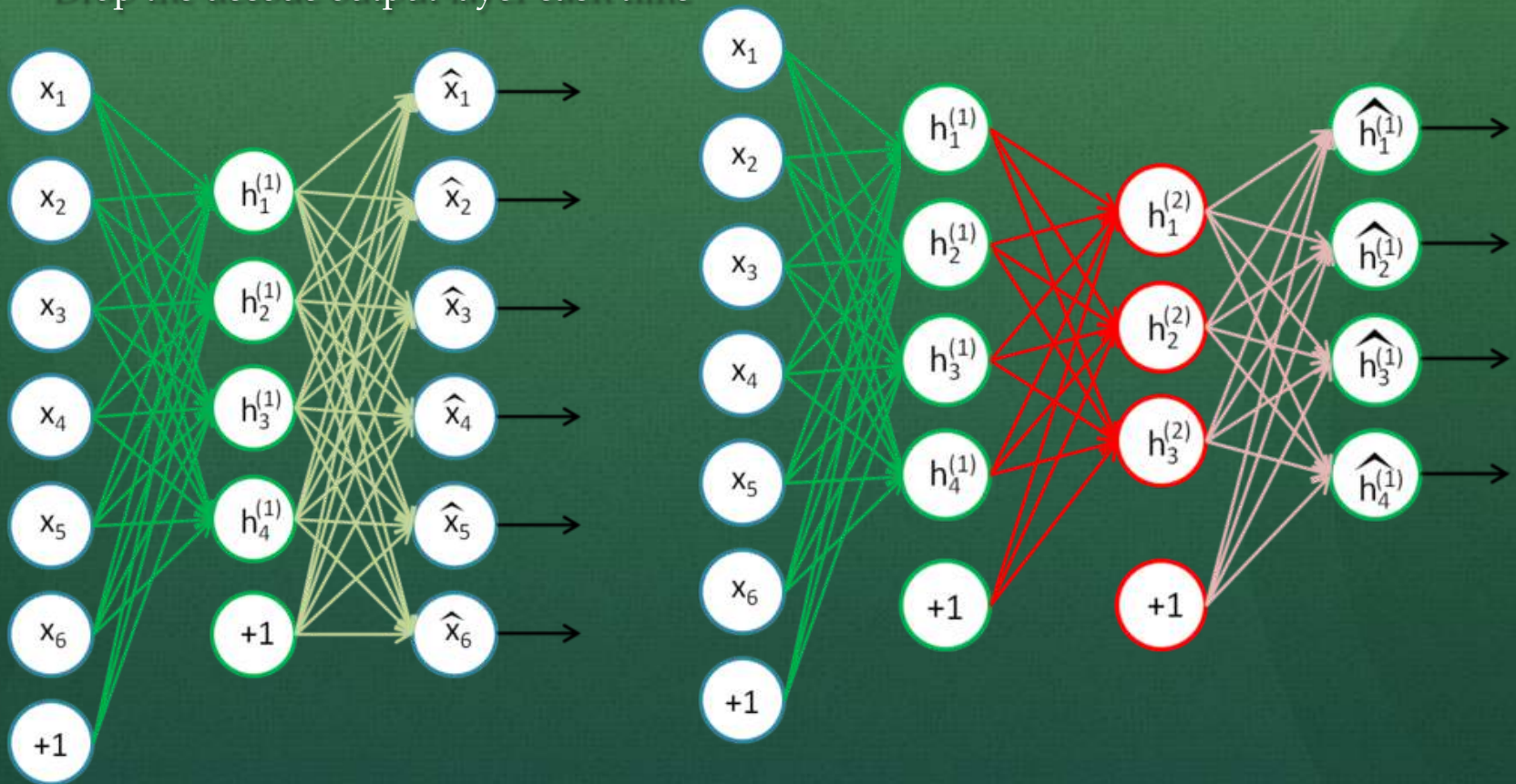


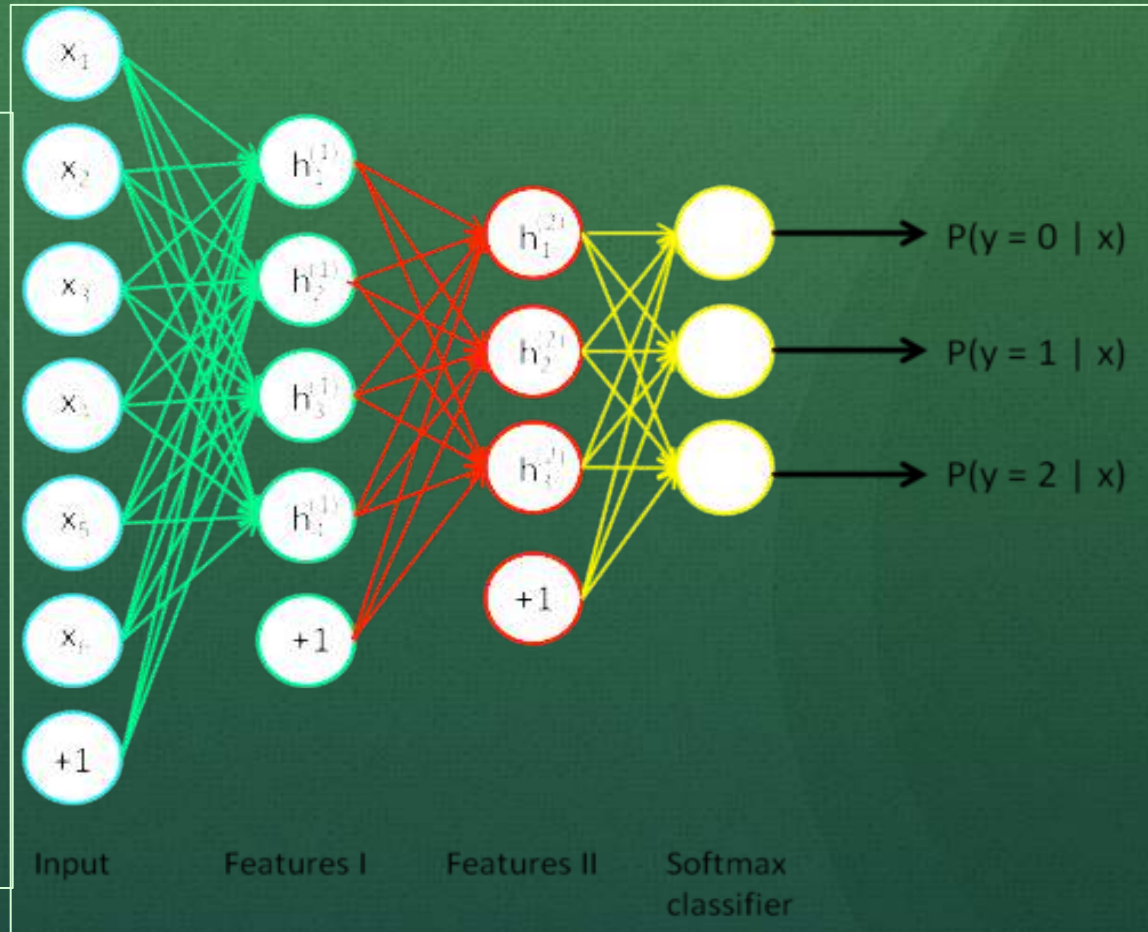
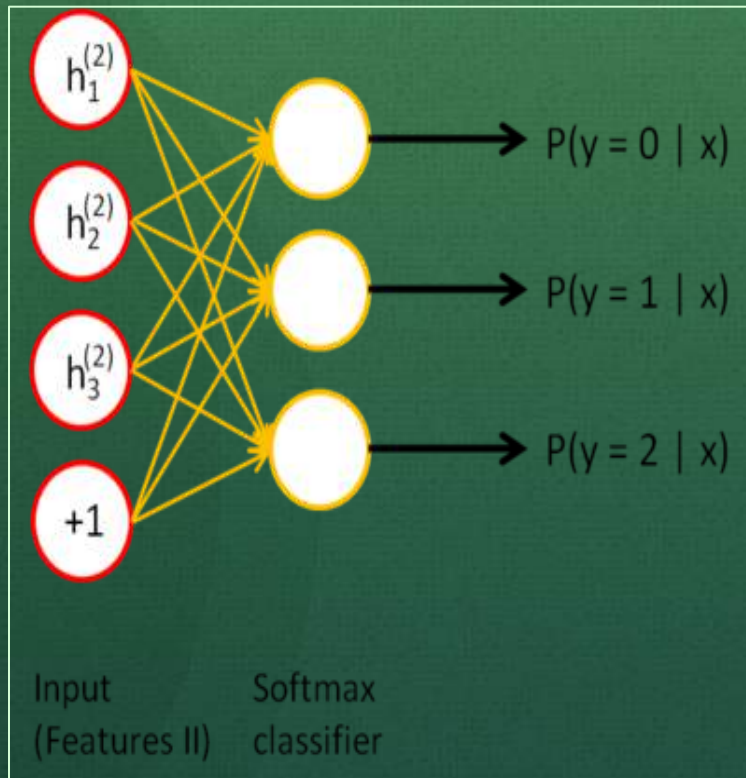
Fig. 2. Architecture of LeNet-5, a Convolutional Neural Network, here for digits recognition. Each plane is a feature map, i.e. a set of units whose weights are constrained to be identical.

Stacked Auto-Encoders

- Bengio (2007) - After Deep Belief Networks (2006)
- Stack many (sparse) auto-encoders in succession and train them using greedy layer-wise training
- Drop the decode output layer each time



Auto-encodeurs empilés



Methods of compression

- Statistical compression
- Model driven compression
- Qualitative ontologic compression

Statistical compression
for reducing health big data
into a few data representations
based on data analysis restituting
the essential of the medico-social
knowledge

Influenza Web surveillance in Japan social networks

Eiji Aramaki, Sachiko Maskawa, Mizuki Morita

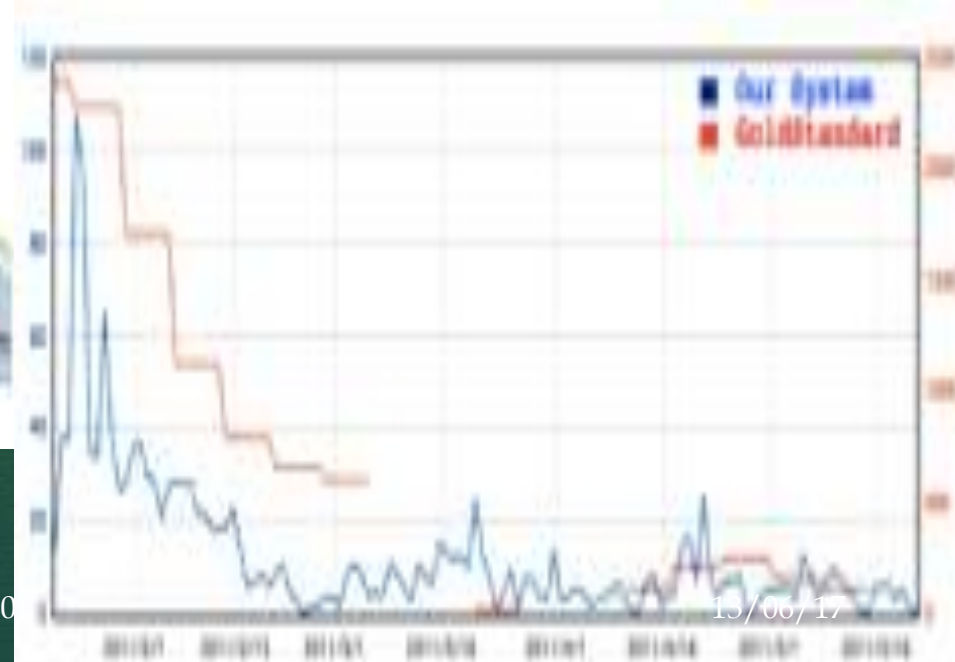
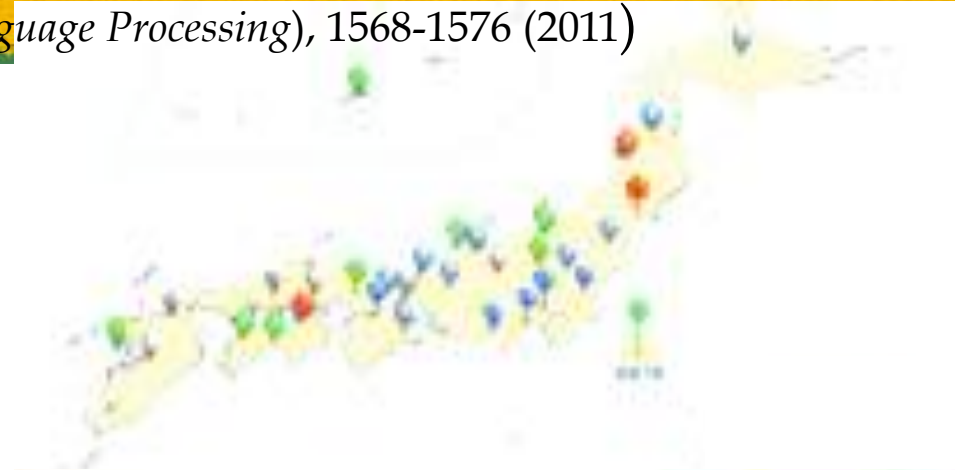
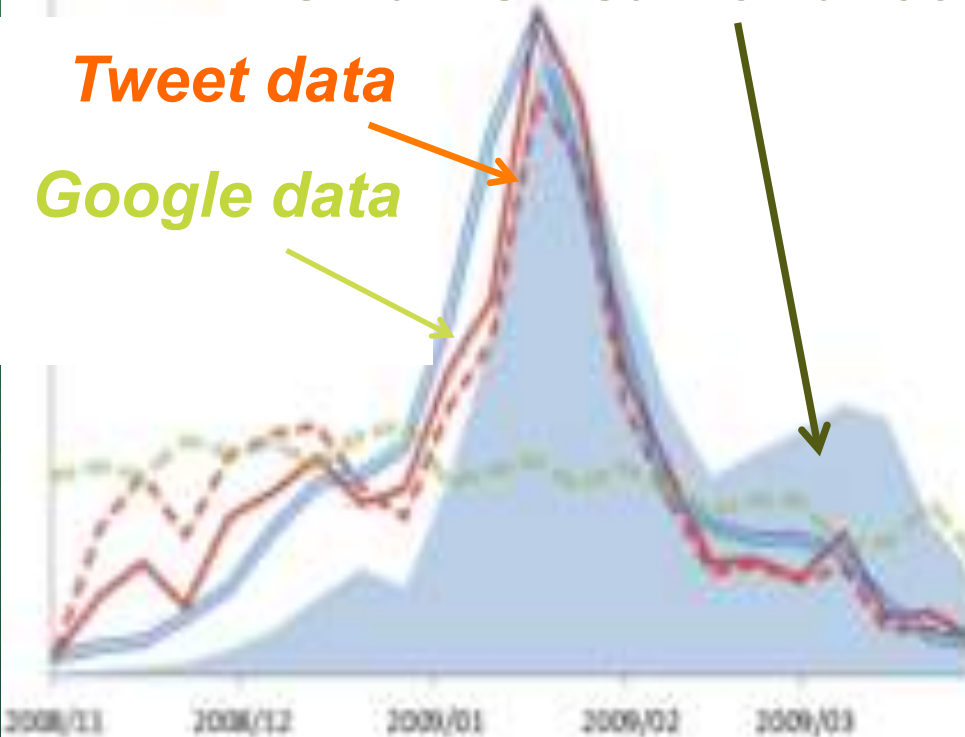
Twitter Catches The Flu: Detecting Influenza Epidemics using Twitter

EMNLP (*Empirical Methods on Natural Language Processing*), 1568-1576 (2011)

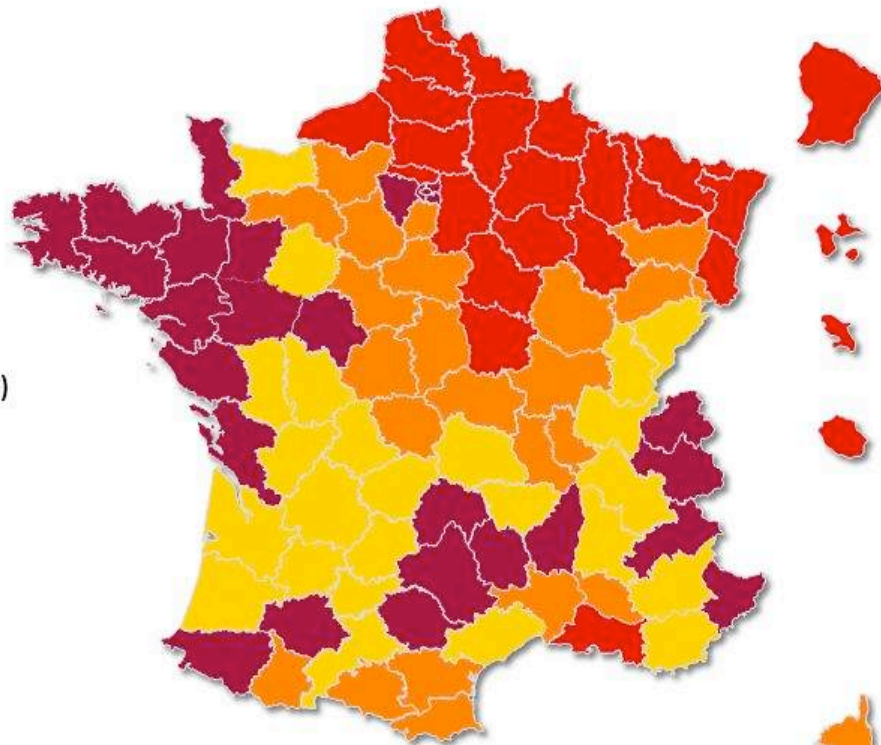
INFLU kun GP surveillance

Tweet data

Google data

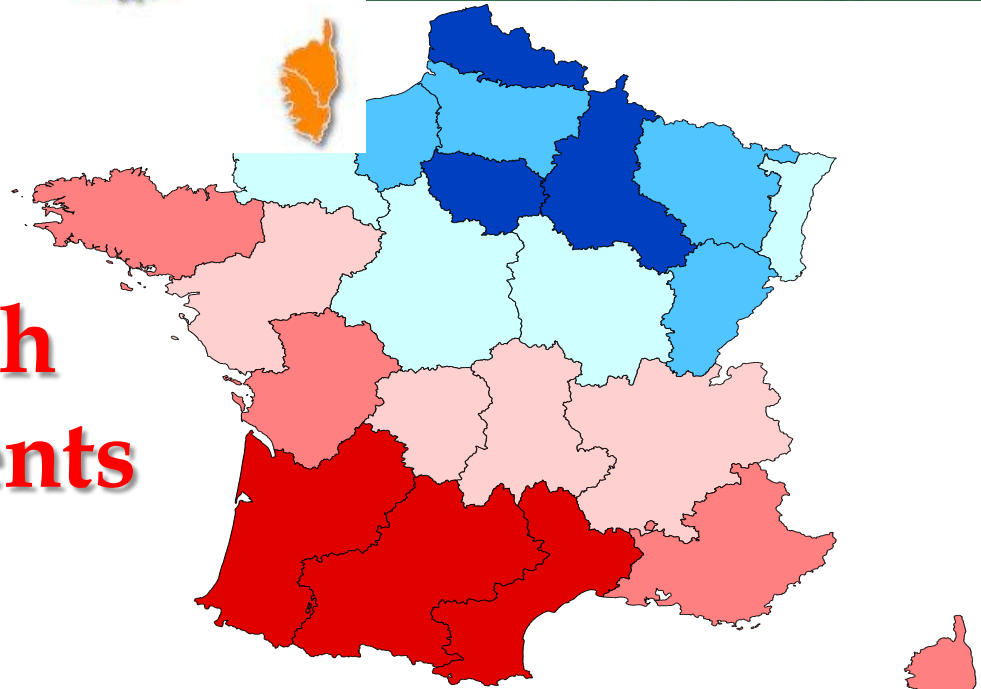


Taux standardisé
de prévalence du diabète (%)



Type II diabetes prevalence OECD 2008

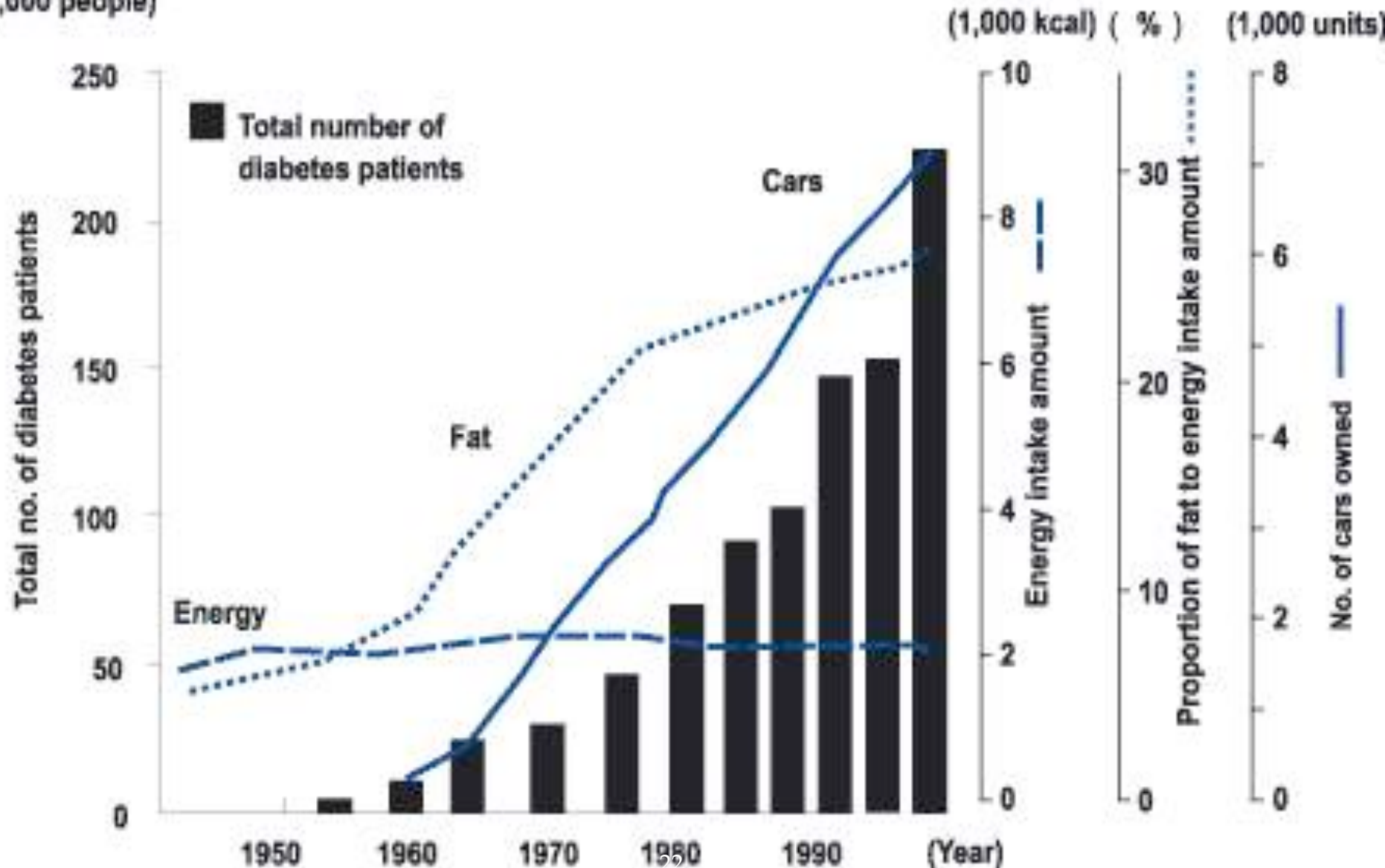
South-North French medico-social gradients



Attractivity of French regions INSEE 2008

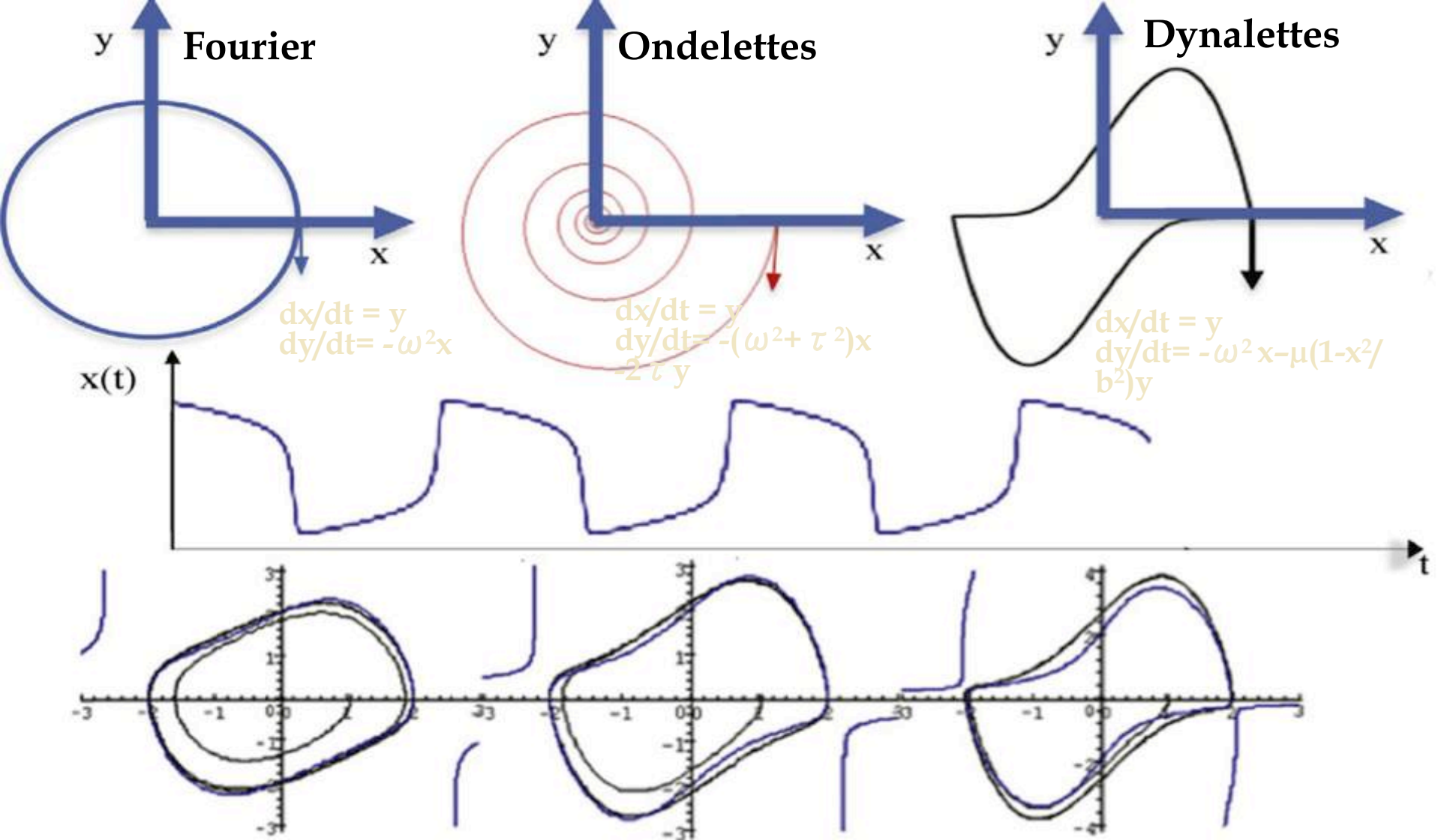
Type II Diabetes increase in Japan

(10,000 people)



Model driven compression

Generalization of the Fourier & wavelets approach



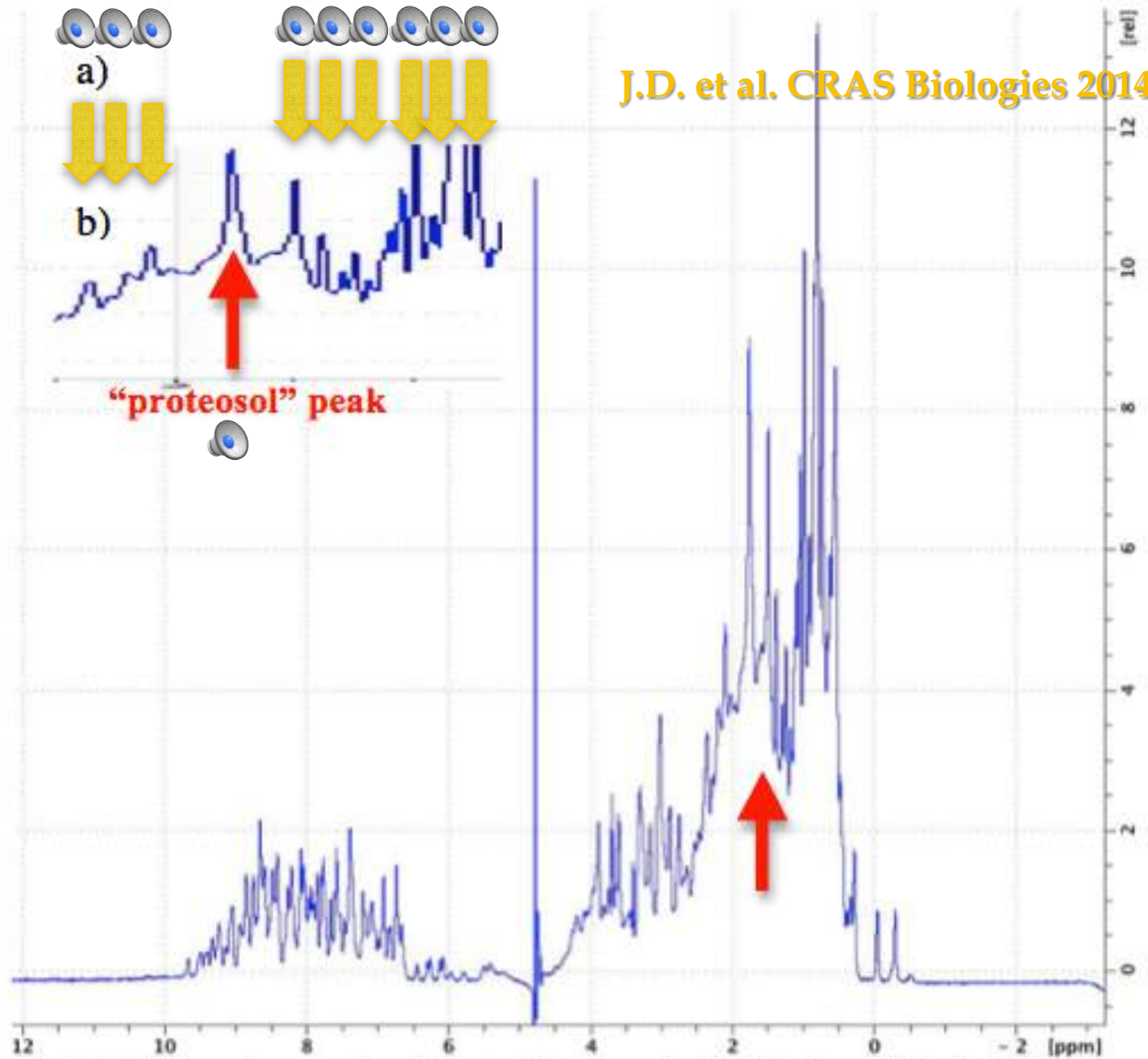


Fig. 1: a) original protein NMR spectroscopy signal; b) extraction of a peak called "proteosol" to be isolated and processed by the Dynalet transform (red arrow).

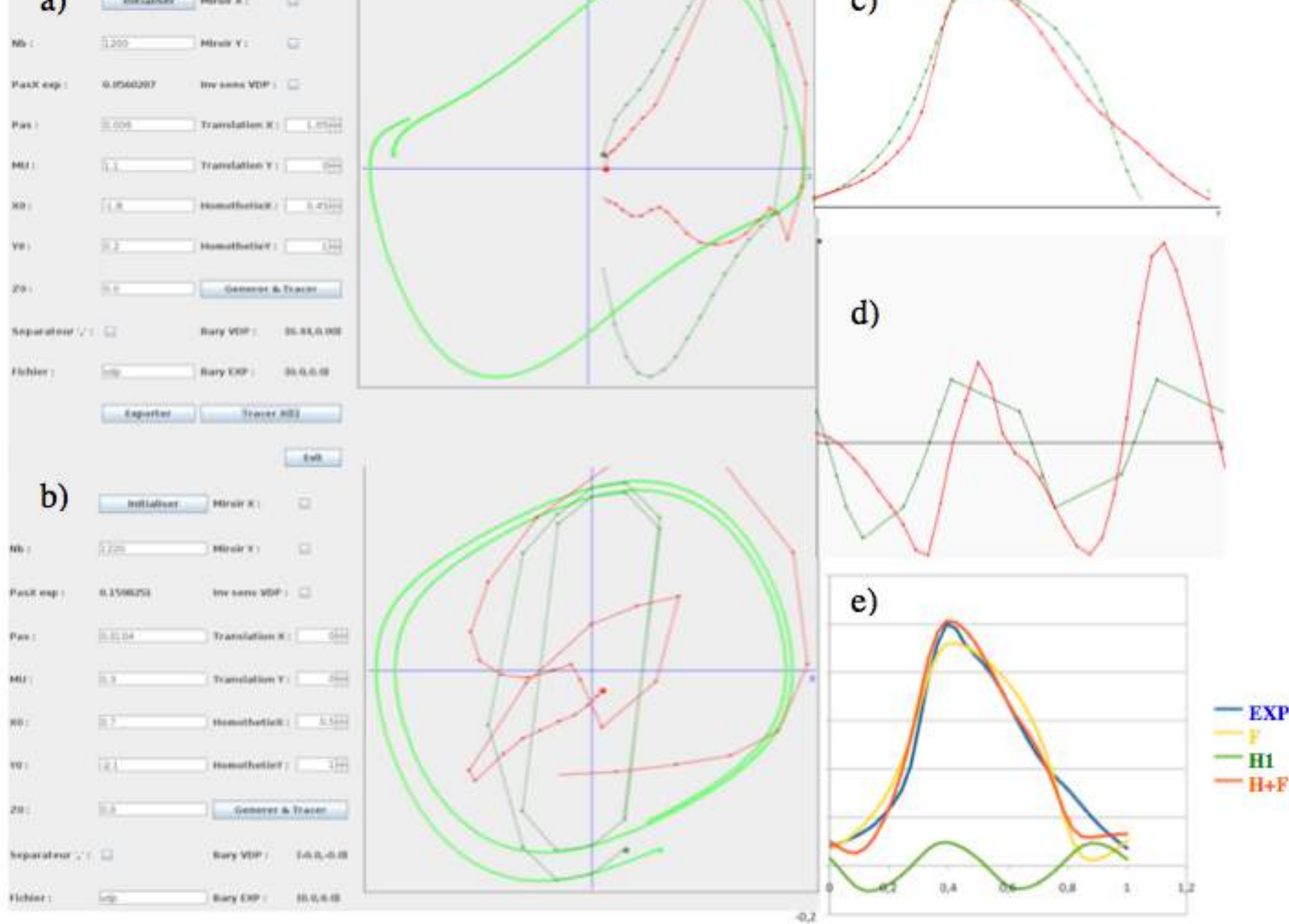
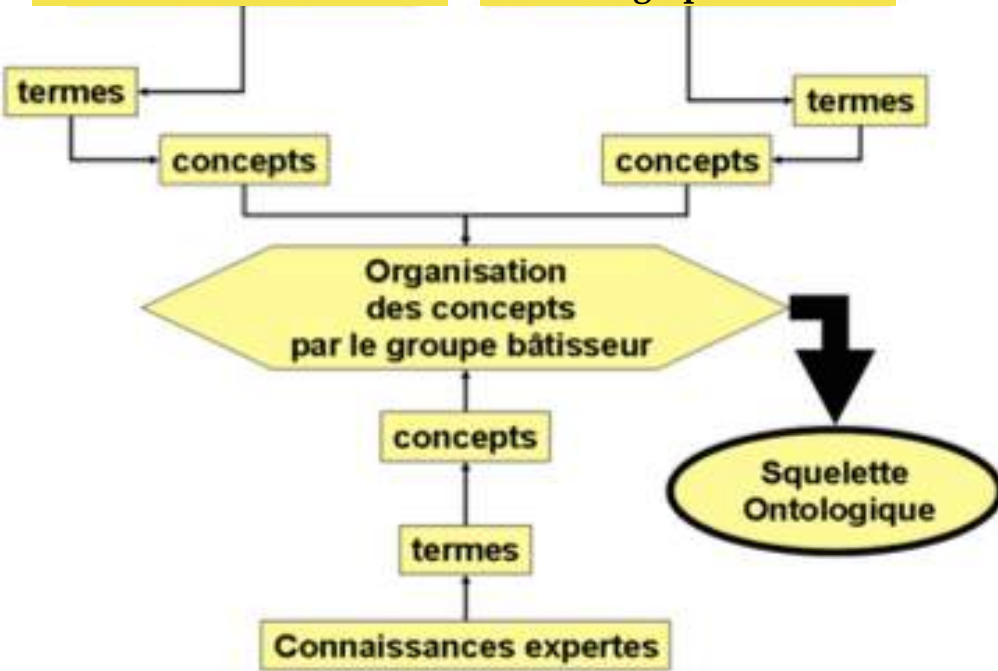


Fig. 2: a) original empirical protein signal of Fig. 1 (in red) matched with the van der Pol limit cycle (in dark green); b) first harmonic signal matched with the first harmonic of the van der Pol signal; c) fundamental temporal original signal (in red) matched with the van

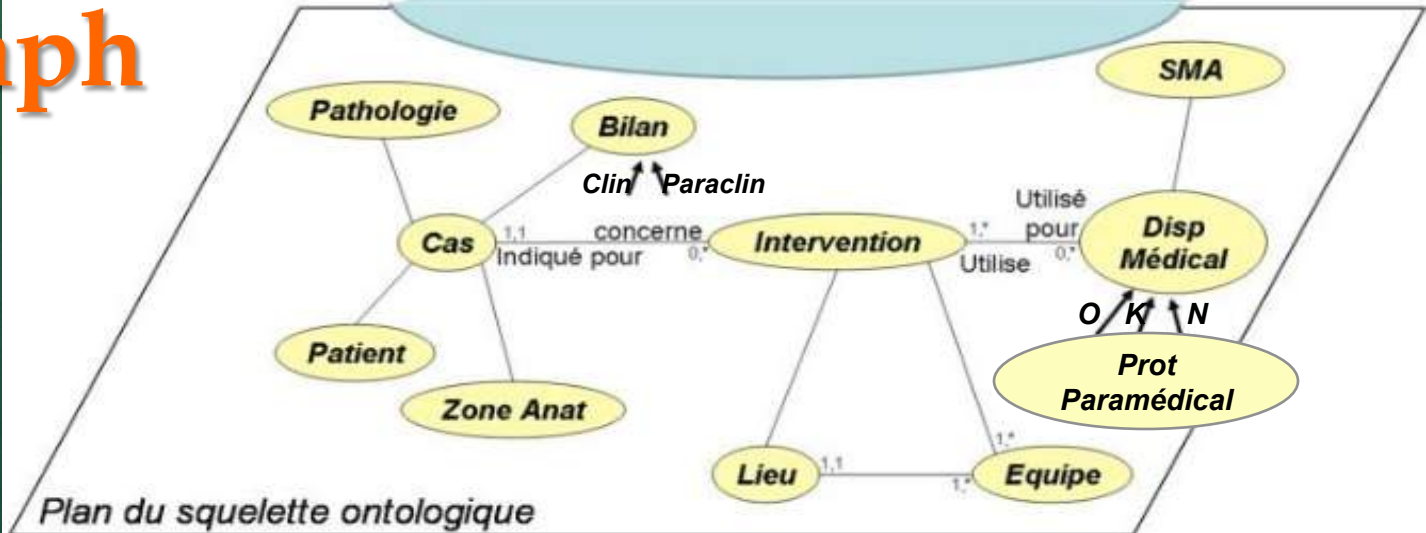
**Qualitative ontologic compression
into logic representations
based on
semantic analysis and
ontologic representation**

Dossier médical AVC

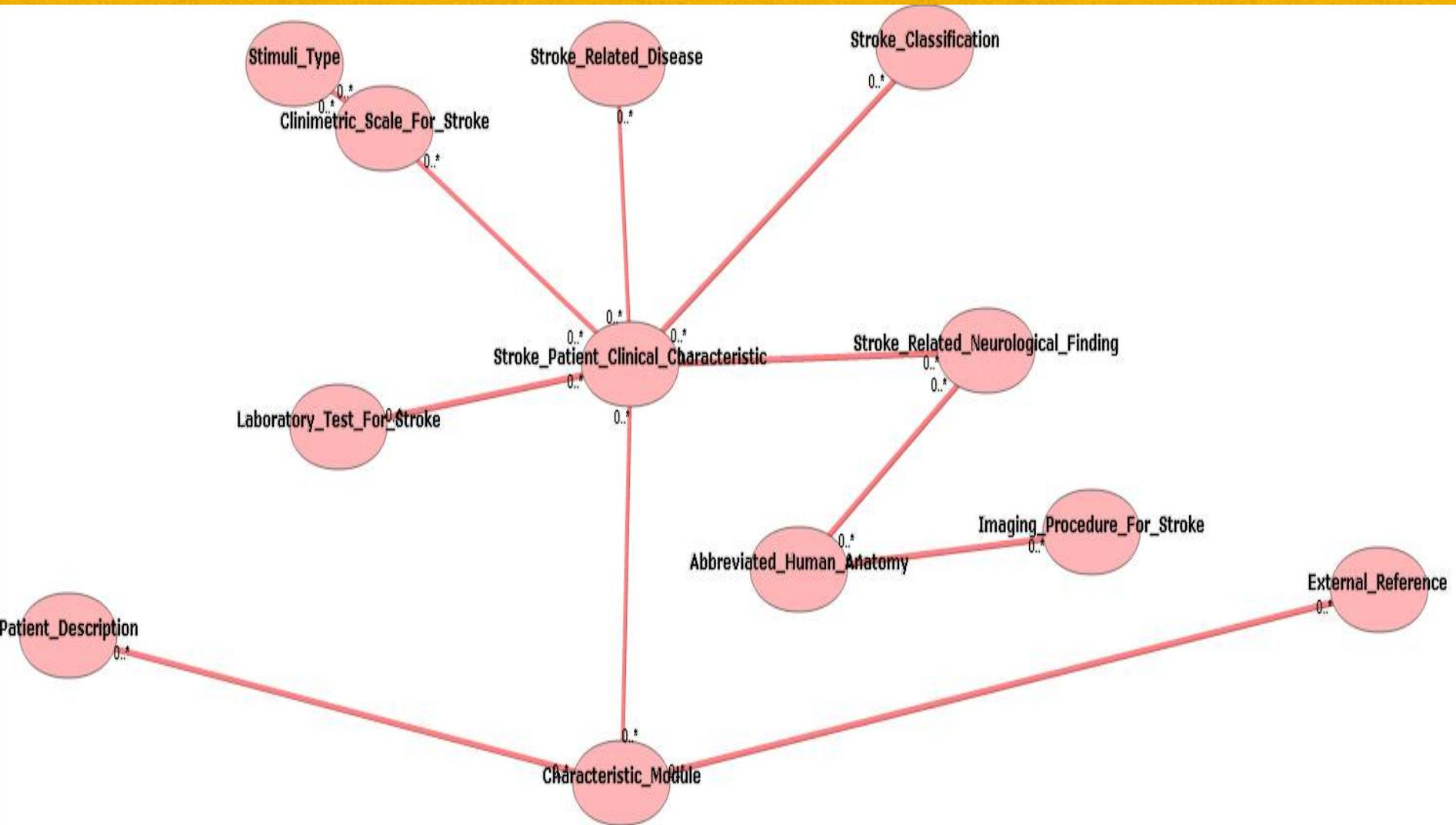
Bibliographie AVC



Concepts ontology graph



Ontology building tools



Methods of interpretation

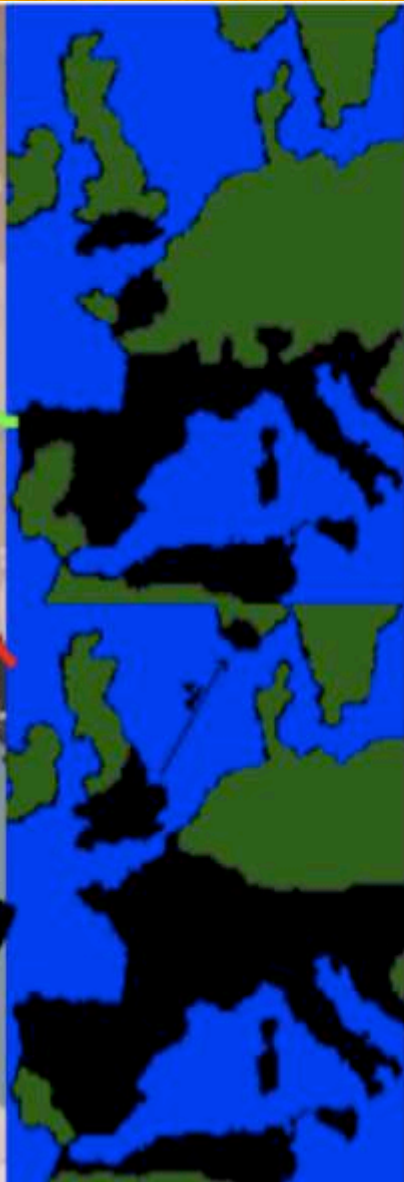
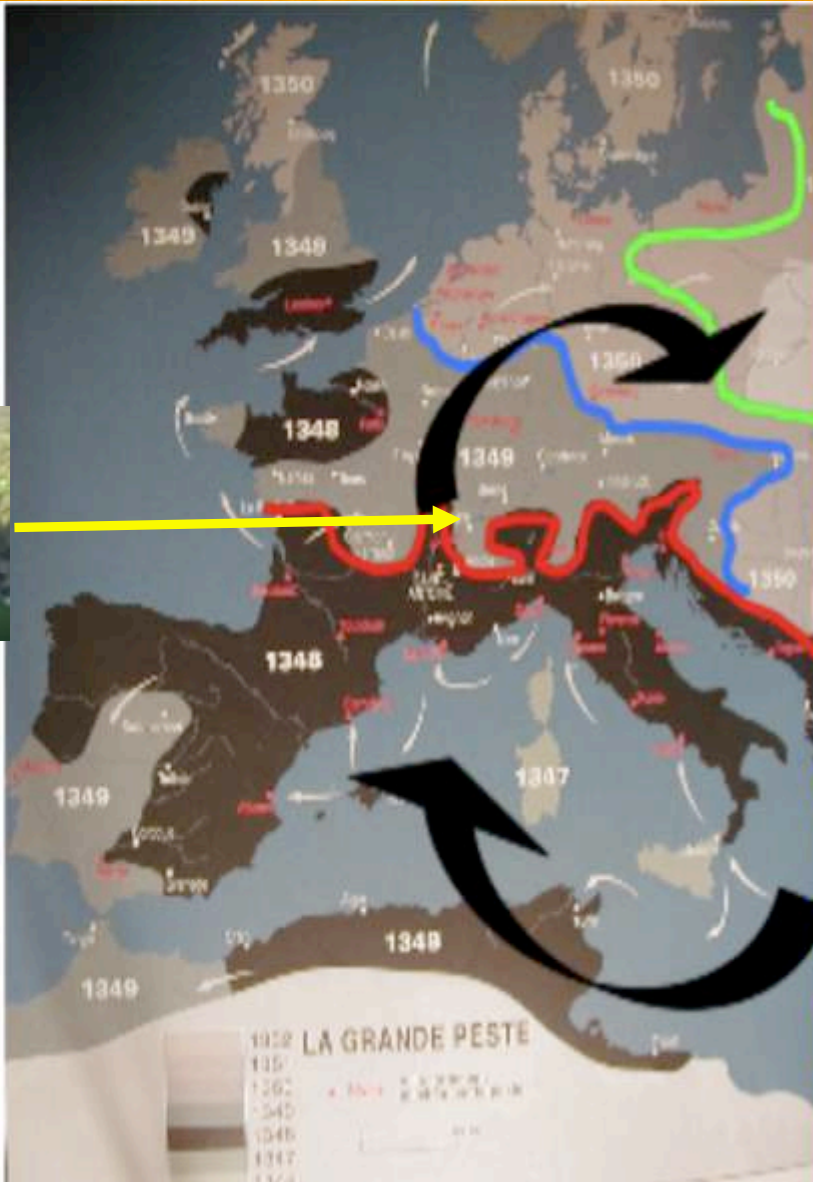
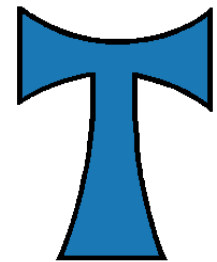
- Differential modelling
- Automata & Multi-Agent modelling
 - Functional modelling

Differential modelling

Voies commerciales



St Anton Abbey



1
3
4
8
1
3
4
9



Daniel Bernoulli

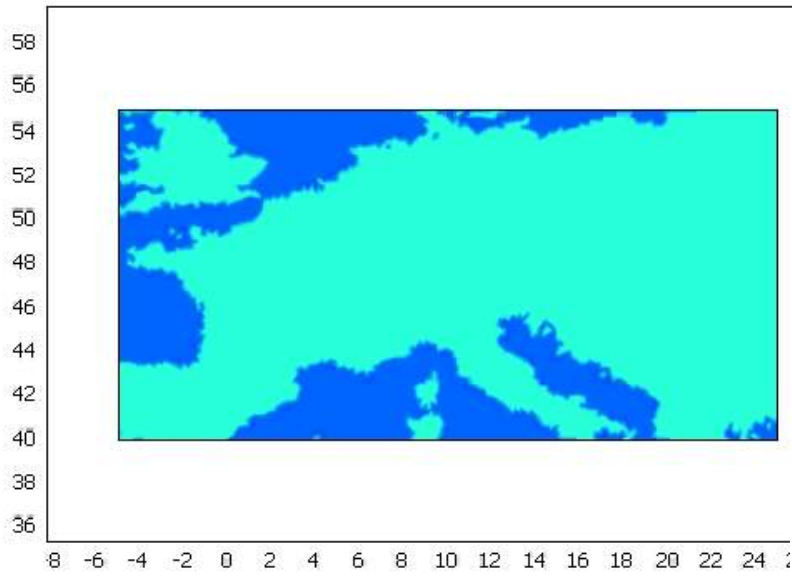


Jean d'Alembert

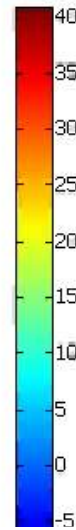
Ronald Ross



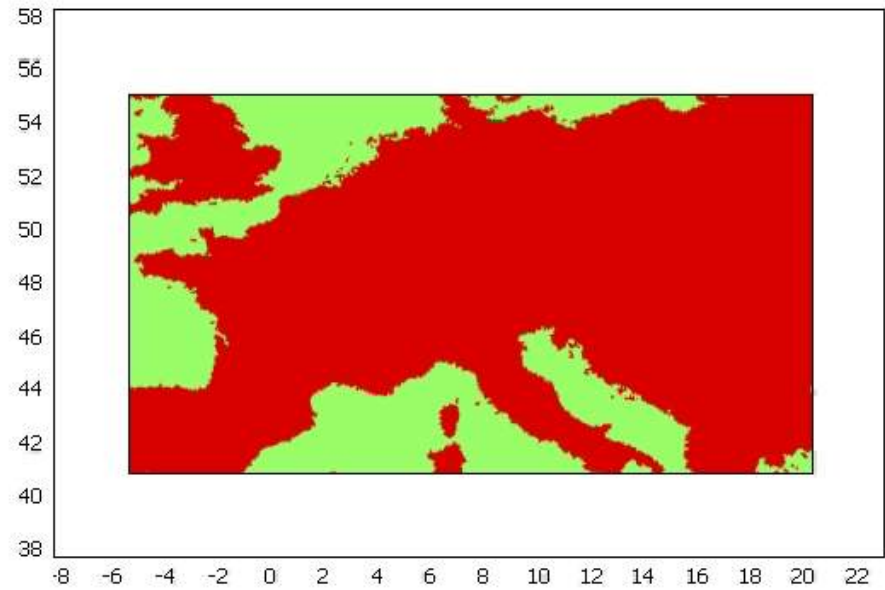
Time=0
Surface: u



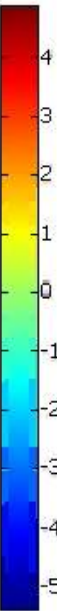
Max: 40.92



Time=0
Surface: u



Max: 4.882



Min: -5.378



A. Turing

MODELISATION



MEDECINE

P. Ambroise-Thomas



MATHEMATIQUES

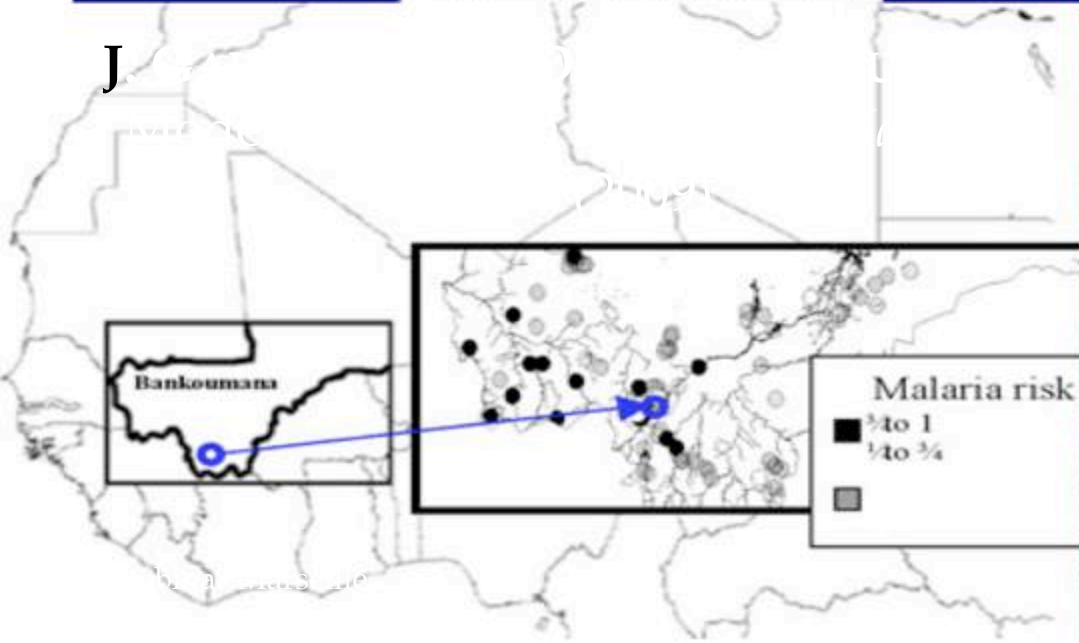


Incidence de la malaria

À Alger, j'ai abandonné mes premières amours les mathématiques dites pures pour « entrer en médecine »



Marigots



Malaria risk

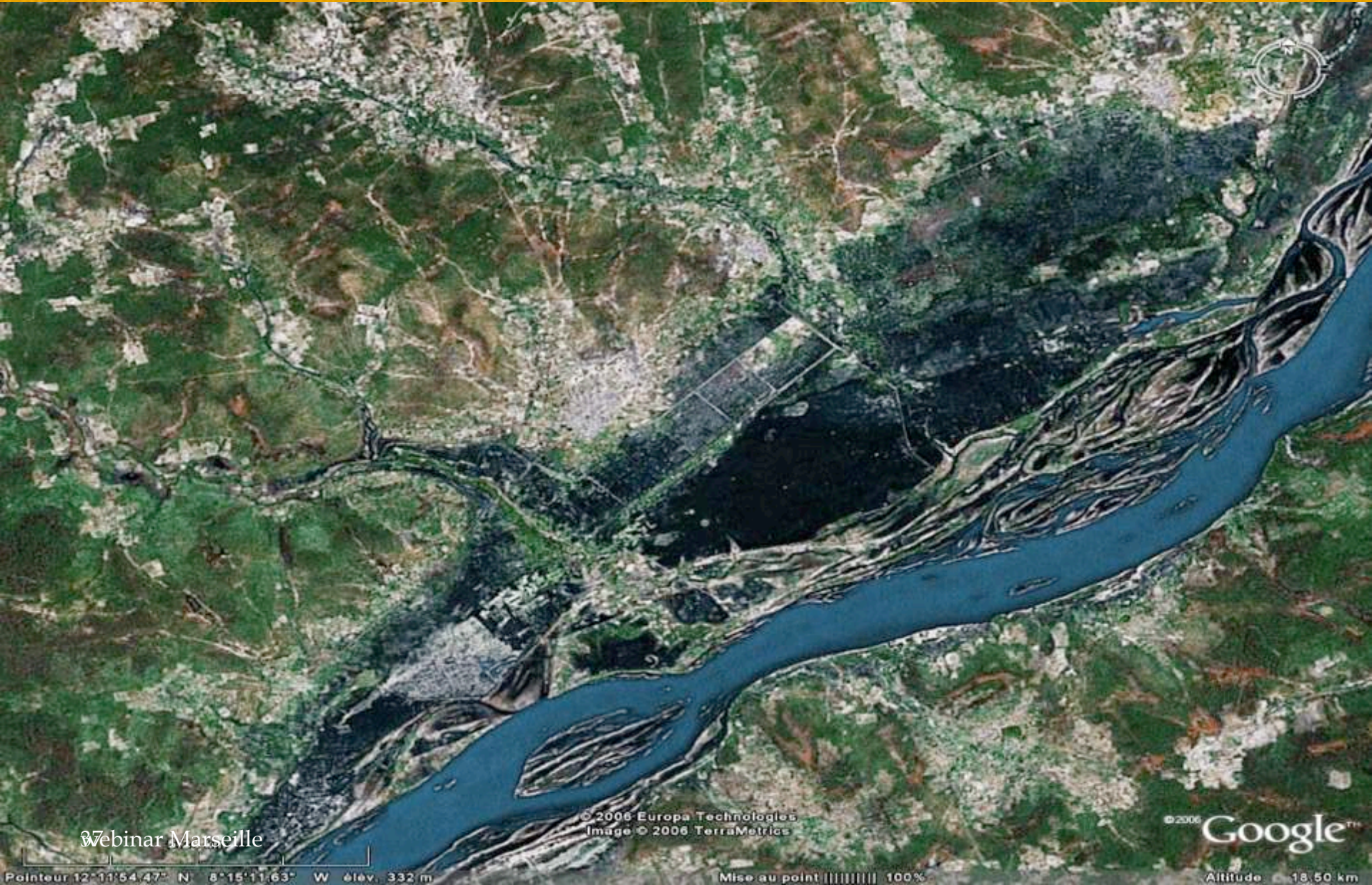
- 3/4 to 1
- 1/2 to 3/4
-



Southwest backwater zone

Niger

Bancoumana (Mali): selon quel gradient progresse la maladie?



Webinar Marseille

© 2006 Europa Technologies
Image © 2006 TerraMetrics

© 2006 Google™

Pointeur 12° 11' 54.47" N 8° 15' 11.63" W elev. 332 m

Mise au point ||| 100%

Altitude 18.50 km

Spatial problem

Fractal perimetric superficial backwater



$2 \pi r$ perimetric phreatic backwater

Niger

Endemic prevalence

Prévalence = Proportion des personnes

ayant ou ayant eu la maladie dans un échantillon et une durée donnés

$$\frac{dS(t)}{dt} = \mu\alpha\beta A_i(t) S(t) - \delta R(t)$$

$$\frac{dI(t)}{dt} = +\mu\alpha\beta A_i(t) S(t) - (\eta_1 + \gamma) I(t) + \eta_2 G(t)$$

$$\frac{dG(t)}{dt} = +\eta_1 I(t) - (\eta_2 + \gamma) G(t)$$

$$\frac{dR(t)}{dt} = +\gamma (I(t) + G(t)) - \delta R(t)$$

$$\frac{\partial A_s(x, t)}{\partial t} = \varpi - \alpha\zeta G(t) A_s(x, t) - \xi A_s(x, t) + D_i \Delta A_s(x, t)$$

$$\frac{\partial A_g(x, t)}{\partial t} = +\alpha\zeta G(t) A_s(x, t) - (\xi + \nu) A_g(x, t) + D_g \Delta A_g(x, t)$$

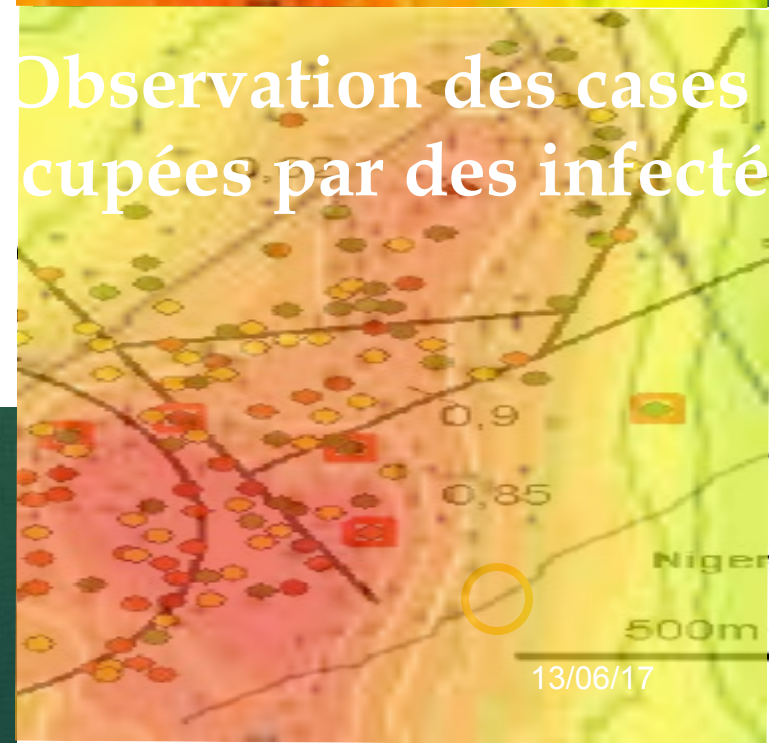
$$\frac{\partial A_i(x, t)}{\partial t} = \nu A_g(x, t) - \xi A_i(x, t) + D_s \Delta A_i(x, t)$$

J. GAUDART, ..., J. D. & O.K. DOUMBO,
Modelling malaria incidence. *Malaria J.*, 8, 61 (2009).

Prédiction de la densité des infectés

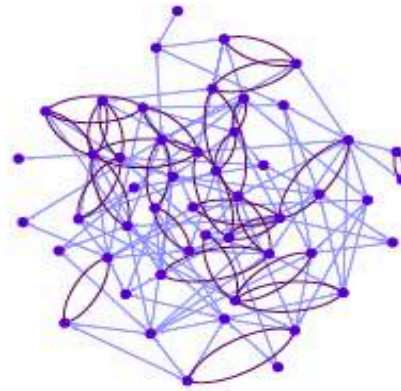
Bancoumana (Mali)

Observation des cases
cupées par des infectés

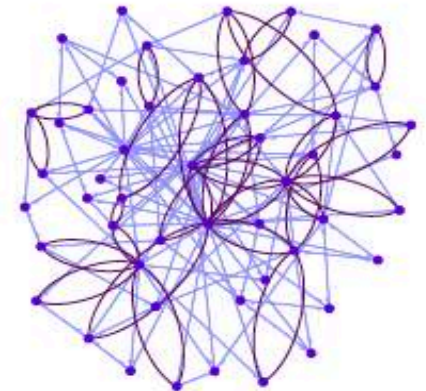


Automata modelling

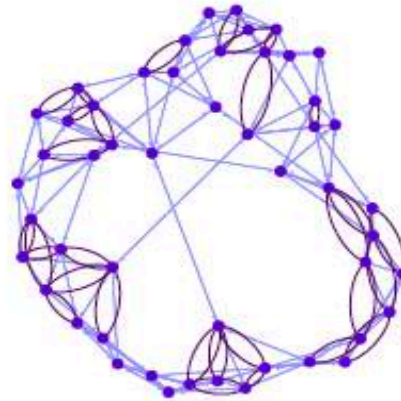
Social networks



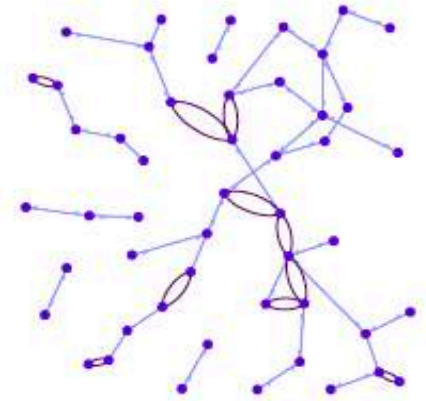
(a) ALEATOIRE



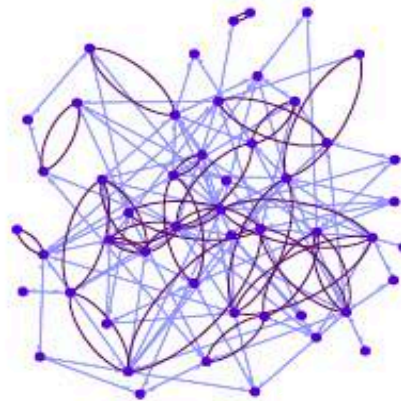
(b) SCALE-FREE



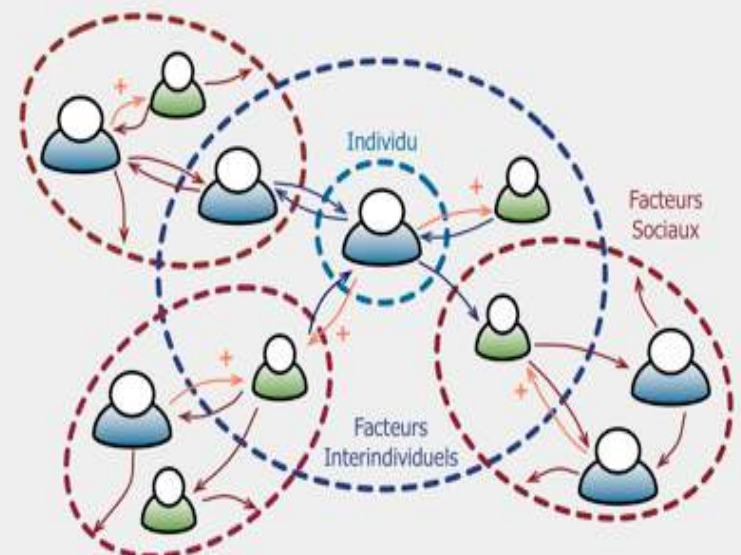
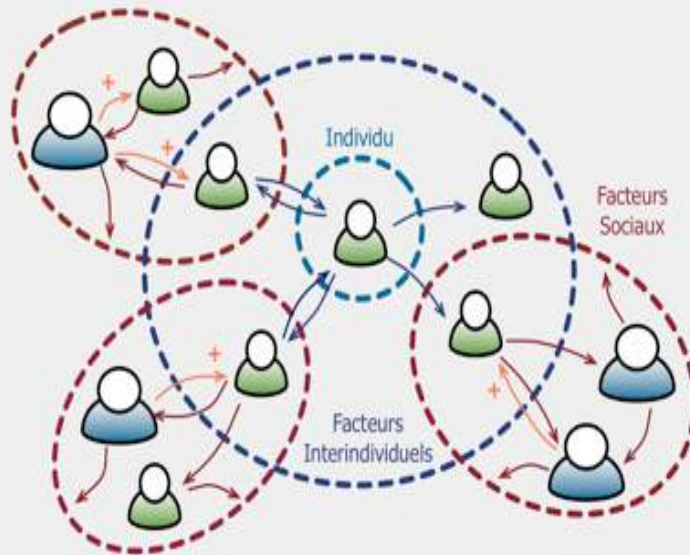
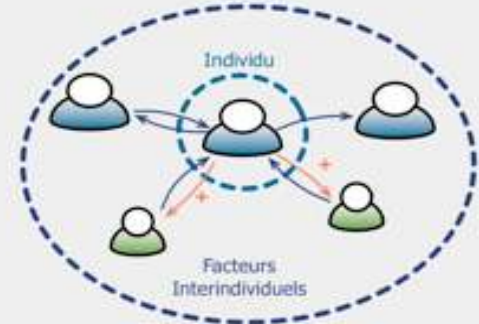
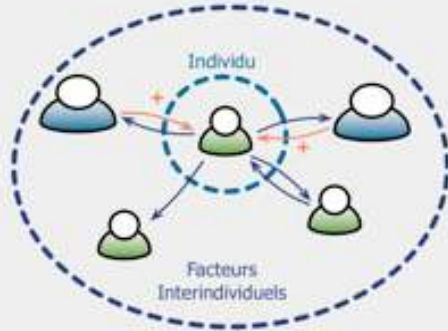
(c) SMALL WORLD



(d) EMPIRIQUE 1



(e) EMPIRIQUE 2



Empirical networks

Obesity

DYNAMIQUE HOMOPHILIQUE

EMPIRIQUE 1



(a) RÉSEAU INITIAL



(b) RÉSEAU AU TEMPS = 80



(c) RÉSEAU FINAL

Obesity dynamics

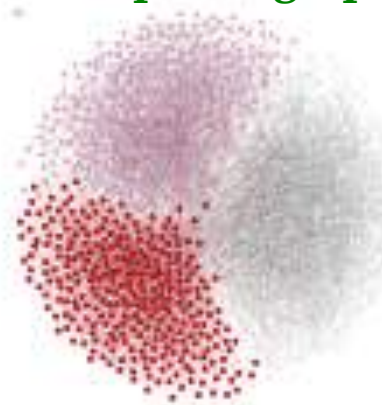
C. Taramasco

EMPIRIQUE 2

homophilic graphs



(d) RÉSEAU INITIAL

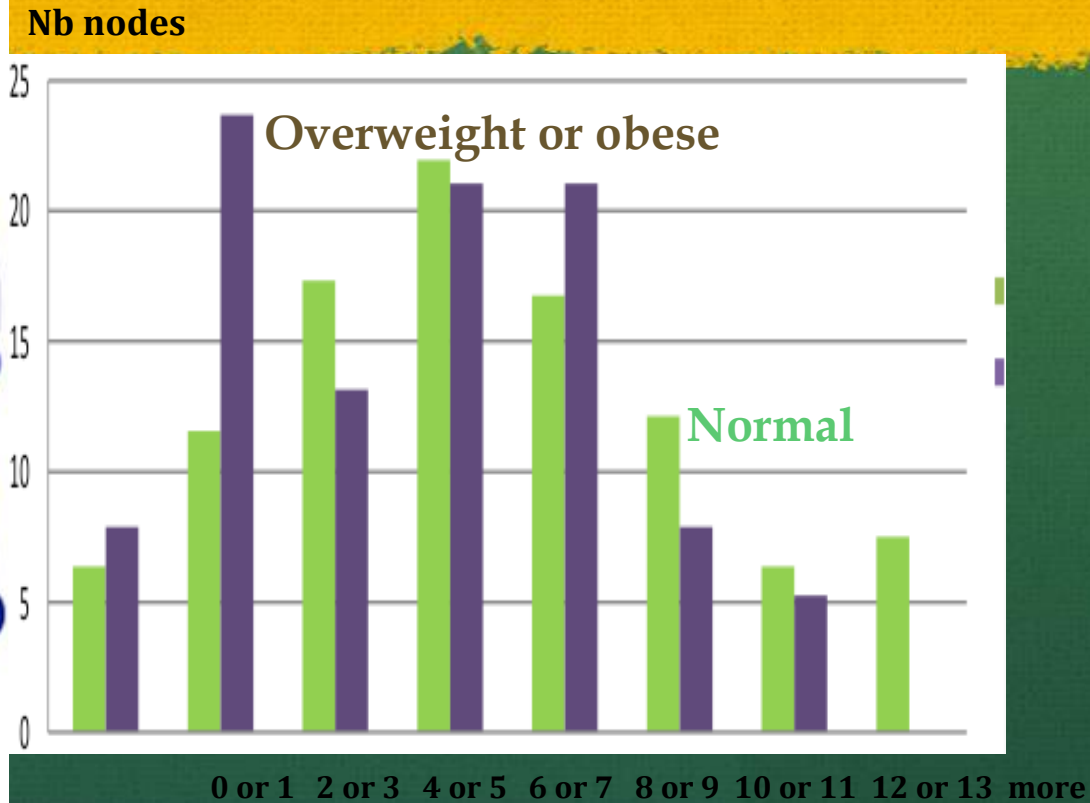
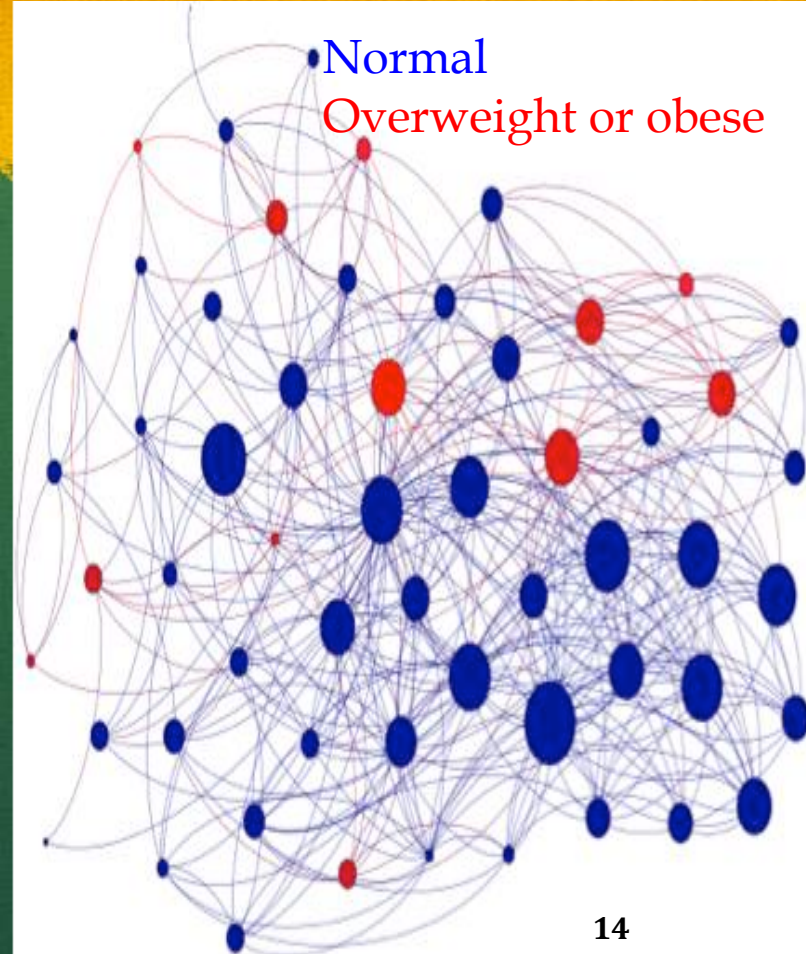


(e) RÉSEAU AU TEMPS = 60



(f) RÉSEAU FINAL

Friendship network at highschool



Bimodal distribution of friend's numbers in abnormal population of highschool



STEAMSURFING BY VITALISEUR DE MARION

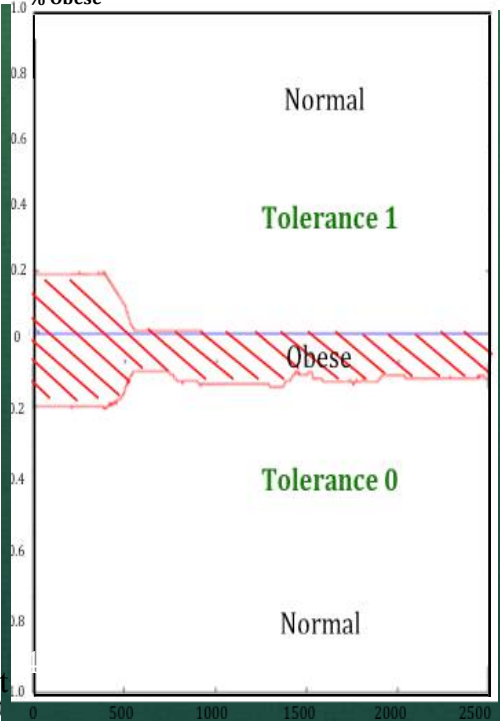
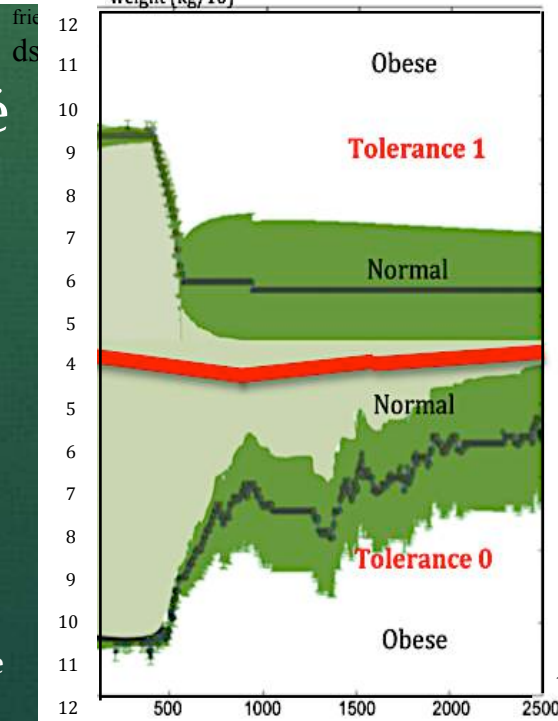
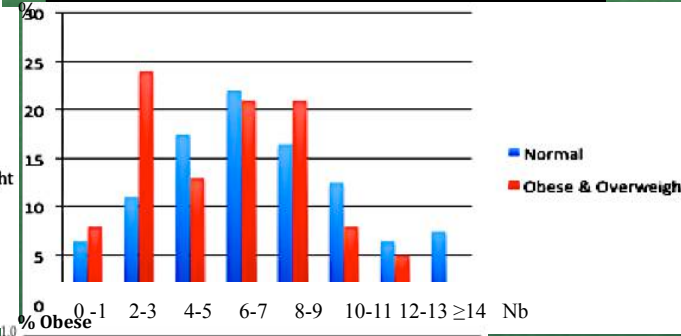
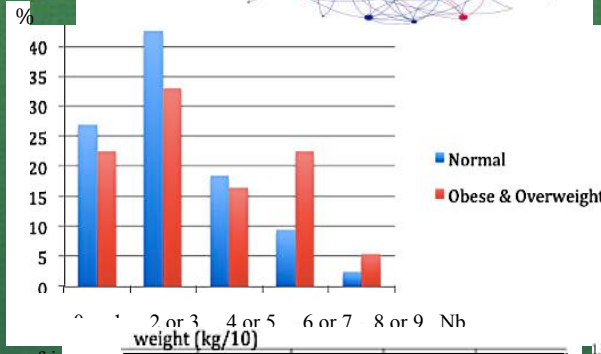
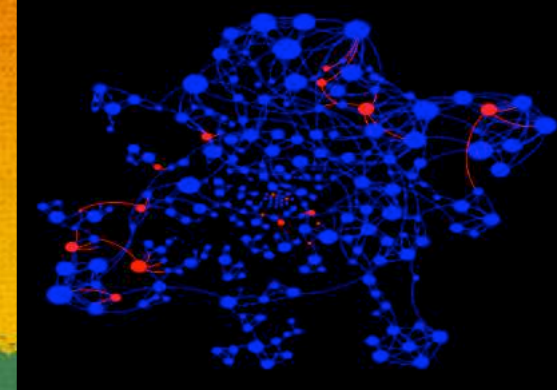
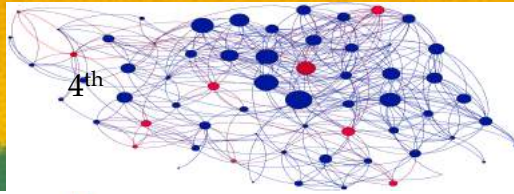
S'INSCRIRE

SE CONNECTER



Créez, partagez, vivez
vos exigences alimentaires

Suivi de l'obésité au collège



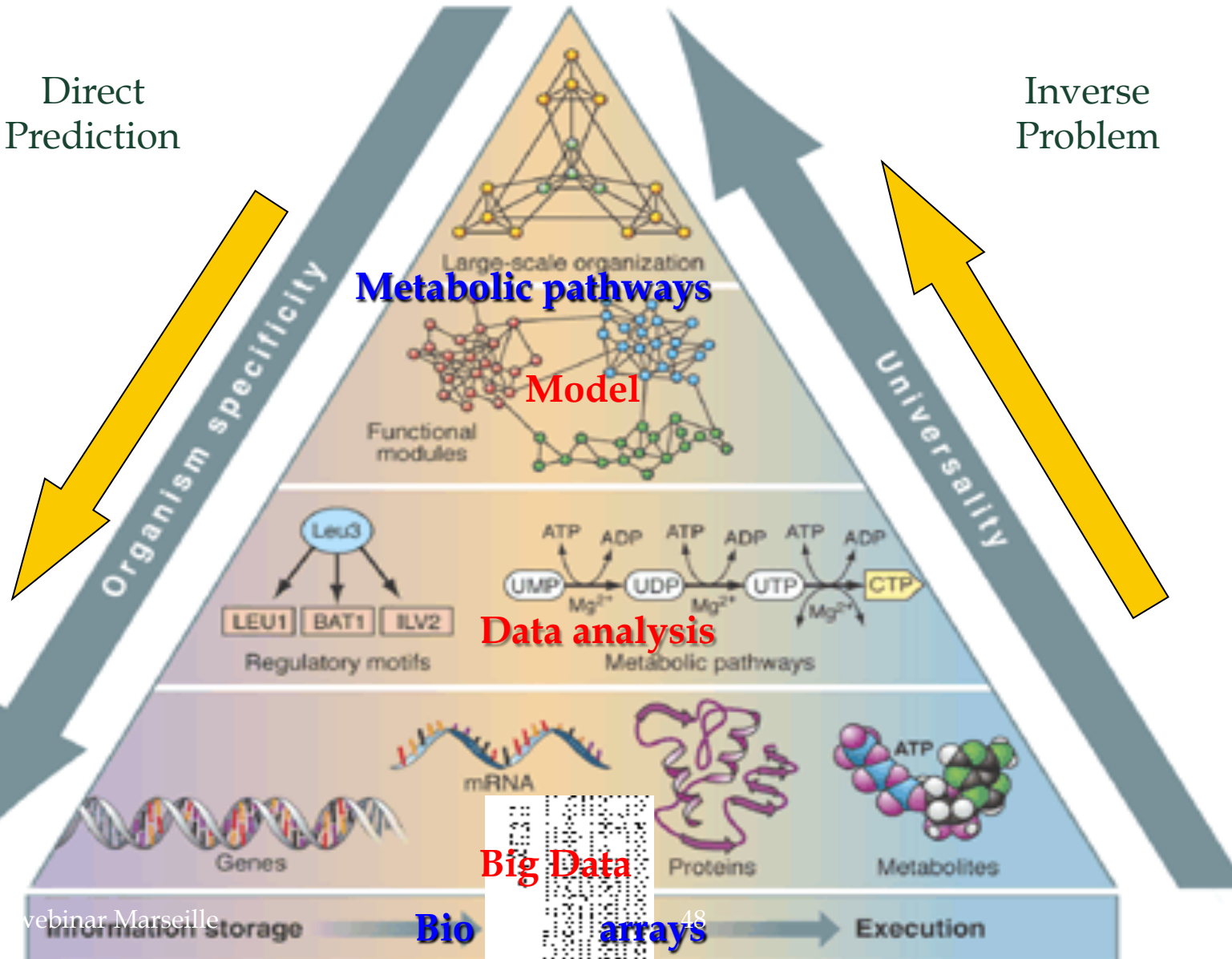
Functional modelling

For reducing big data related to
a metabolic pathway
into a few number of attractors
related to the circuits of its
interaction graph

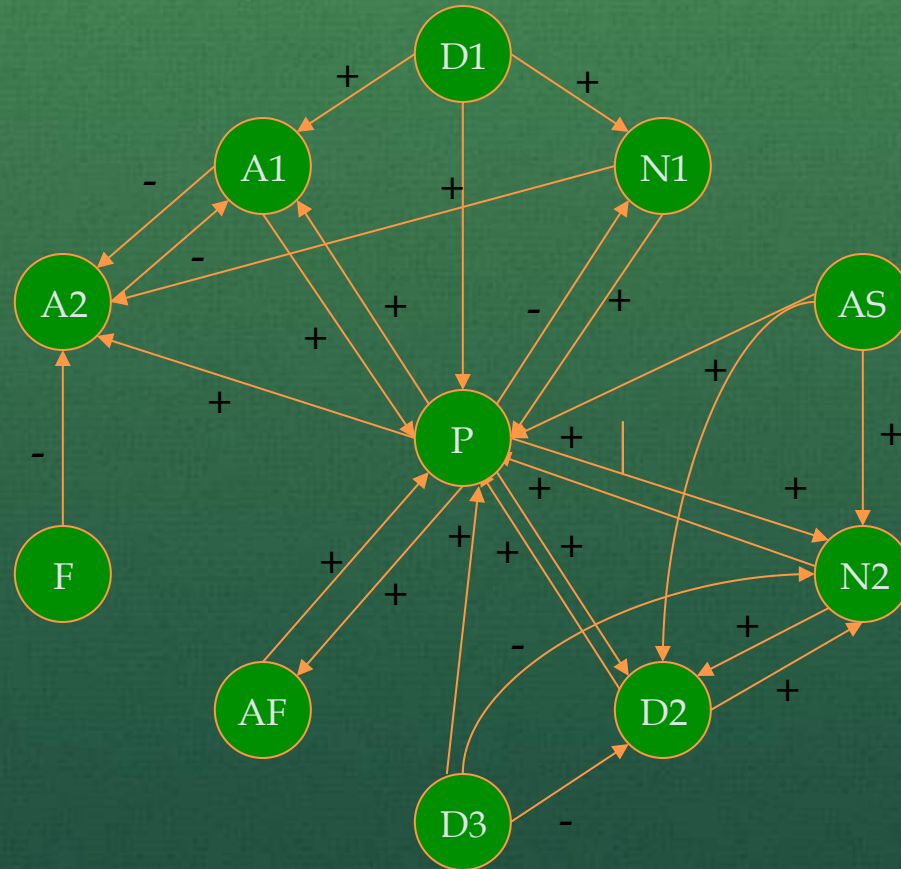
Life's complexity: from bio-arrays to metabolic pathways

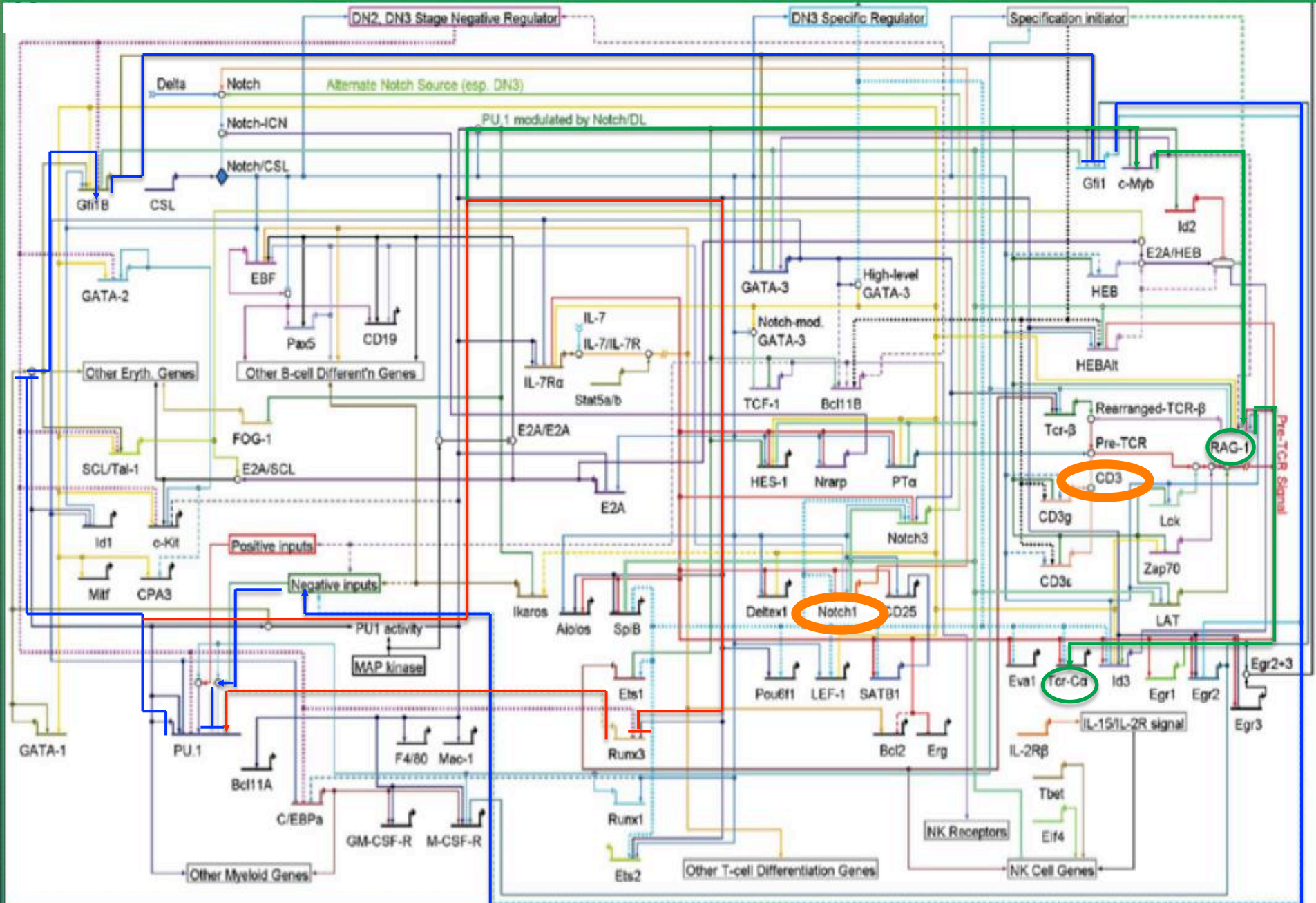
Direct
Prediction

Inverse
Problem



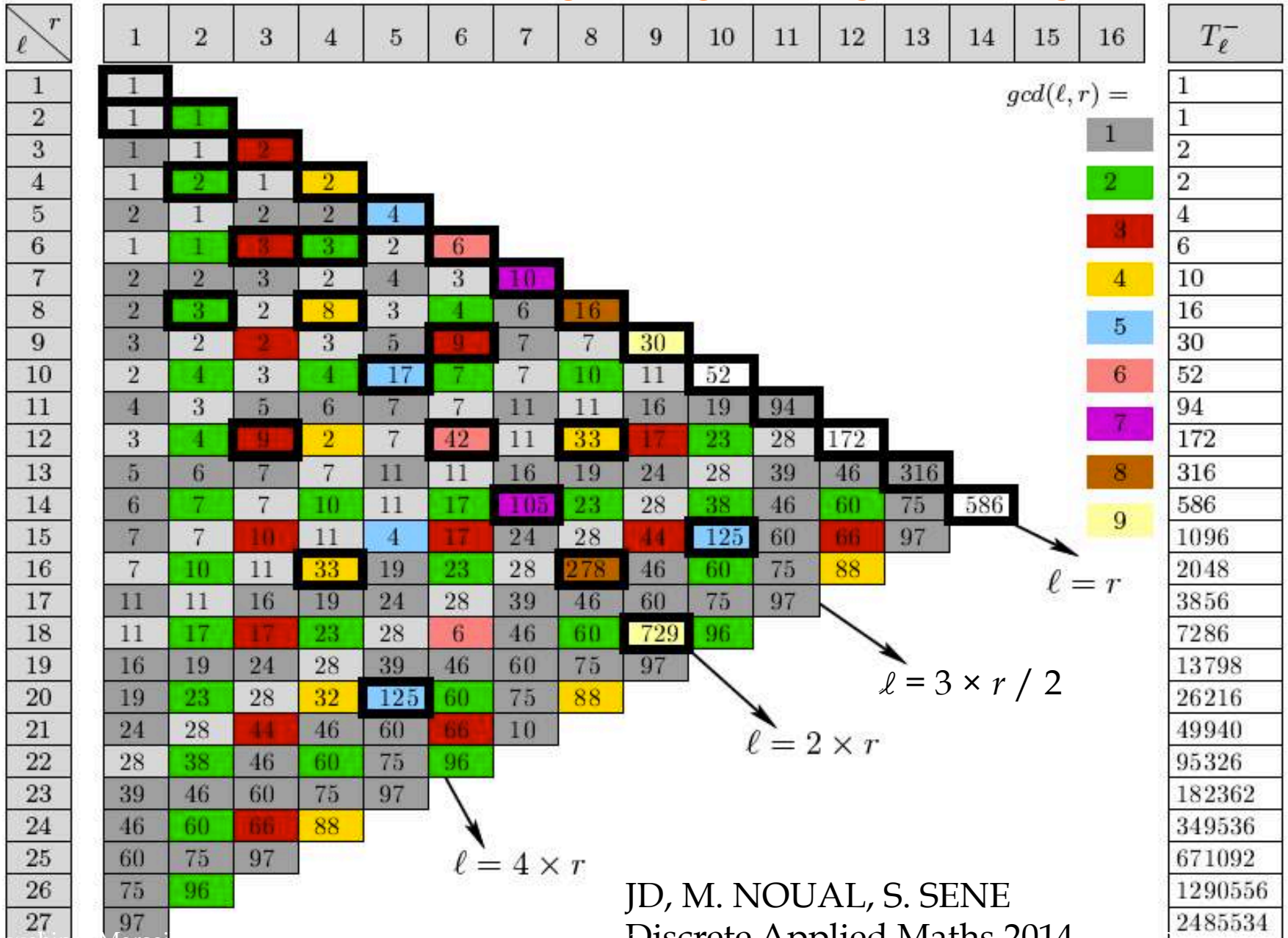
Social Interaction network





RAG control pathway

Attractor Nb of positive circuits of length r tangent to negative of length l



Conclusion

- Toward a personalized patient time recording
- and at the population level, a spatiotemporal observation
- followed by the steps of big data compression, modelling and interpretation
- with restitution of information to patient and to population